

ნორინგ მოლოდინი, რევაზ მოლოდინი

**ლენტშრი პონგეილრების
გაანგარიშება**

მეთოდიკური მითითებები

„ტექნიკური უნივერსიტეტი“

საქართველოს ტექნიკური უნივერსიტეტი

ნორინგ მოლოდინი, რევაზ მოლოდინი

ლენტზრი პონგეიერების
გაანგარიშება

მეთოდიკური მითითებები



რეკომენდებულია საქართველოს

ტექნიკური უნივერსიტეტის

სარედაქციო-საგამომცემლო საბჭოს

მიერ. 29.06.2018, ოქთი №2

თბილისი

2018

მეთოდიკური მითითებებში მოცემულია ლენტური კონვეიერის გაანგარიშების მეთოდიკა, ასევე ლენტური კონვეიერის თითოეული ტიპის მწარმოებლობისა და დახრის კუთხის მიხედვით მისი გაანგარიშება ამძრავი სიმძლავრის გამოთვლის ჩათვლით.

მეთოდიკური მითითებები დახმარებას გაუწევს სტუდენტებს საკონტროლო სამუშაოების შესრულებასა და საკურსო და სადიპლომო პროექტების შედგენაში სატრანსპორტო მანქანების კურსში. გამოცემა განკუთვნილია დია სამთო სამუშაოების (09.05); მიწისქვეშა და საშახტო მშენებლობის (09.04); სასარგებლო წიაღისეულის გამდიდრების (09.03); სასარგებლო წიაღისეულის საბადოს მიწისქვეშა დამუშავების (09.02); სამთო მანქანებისა და მოწყობილობების (17.01); სამთო ელექტრომექანიკური მოწყობილობისა და ავტომატიზაციის (21.05) სპეციალობის სტუდენტებისათვის.

რეცენზენტები: საქართველოს ტექნიკური უნივერსიტეტის სამთო-გეოლოგიური ფაკულტეტის ასოცირებული პროფესორი, ტექნიკის მეცნიერებათა კანდიდატი მედეა ონიანი,

საქართველოს ტექნიკური უნივერსიტეტის სამთო-გეოლოგიური ფაკულტეტის ასოცირებული პროფესორი, ტექნიკის მეცნიერებათა კანდიდატი აკაკი გოჩოლეიშვილი

© საგამომცემლო სახლი „ტექნიკური უნივერსიტეტი”, 2018

ISBN 978-9941-28-409-0 (PDF)

<http://www.gtu.ge>

ყველა უფლება დაცულია. ამ წიგნის არც ერთი ნაწილის (იქნება ეს ტექსტი, ფოტო, ილუსტრაცია თუ სხვა) გამოყენება არანაირი ფორმით და საშუალებით (იქნება ეს ელექტრონული თუ მექანიკური) არ შეიძლება გამომცემლის წერილობითი ნებართვის გარეშე.

საავტორო უფლებების დარღვევა ისჯება კანონით.



1. სატრანსპორტო დანადგარების მწარმოებლურობა

ტვირთნაკადები და შესაბამისად სატრანსპორტო მანქანების მწარმოებლურობა უძნებსა და მაგისტრალურ ტრასებზე, როგორც ძირითადი, ისე დამხმარე ტვირთების ზიდვისას იანგარიშება საწარმოს წლიური მწარმოებლურობის (ტ/წ) მიხედვით.

ძირითადი ტვირთებისათვის:

წლიური –

$$Q_{\text{წ}} = \frac{KA_f}{K_g} \cdot \mathcal{O}/\mathcal{F} \quad (1.1)$$

დღედამური –

$$Q_{\text{დღ}} = \frac{KA_f}{K_g \cdot i_1} = \frac{Q_{\text{წ}}}{i_1} \cdot \mathcal{O}/\mathcal{Q} \quad (1.2)$$

ცვლური –

$$Q_{\text{ცვ}} = \frac{KA_f}{K_g \cdot i_1 \cdot i_2} = \frac{Q_{\text{დღ}}}{i_2} \cdot \mathcal{O}/\mathcal{C} \quad (1.3)$$

საათობრივი –

$$Q_{\text{სა}} = \frac{KA_f}{K_g \cdot i_1 \cdot i_2 \cdot T} \cdot \mathcal{O}/\mathcal{ს} \quad (1.4)$$

სადაც $K=1,25...2,5$ არის ტვირთის უთანაბროდ მოდინების (დანადგარის პიკური დატვირთვის) კოეფიციენტი; $K_g=0,75...0,93$ – დანადგარის დროში გამოყენების კოეფიციენტია (K და K_g კოეფიციენტების რიცხვითი მნიშვნელობების შერჩევისას მსედველობაში მიიღება სატრანსპორტო დანადგარების მუშაობის რეჟიმი და ტვირთის აკუმულაციის უნარი); $i_1=260...300$ – სამუშაო დღეთა რიცხვი წელიწადში; $i_2=2...3$ – დღე-დამეში მოპოვების ცვლათა რიცხვი; $T=6...8$ – ცვლის ხანგრძლივობა, სთ.

სამთო საწარმოს (კარიერი, შახტი, მაღარო და ა.შ) მწარმოებლურობის მიღებული მნიშვნელობები ნაწილდება დასამუშავებელ ფენებსა (საფეხურებსა) და ლაგებზე (სანგრევებზე, უბნებზე). მუშა ლავების (სანგრევების, უბნების) რაოდენობა განისაზღვრება სამთო საწარმოს ველის მომზადების, ფენების (სადეხურების) რაოდენობისა და მწარმოებლურობის მიხევით.

დავუშვათ, შახტში (კარიერზე) ერთდროულად მუშაობაშია m_1 ; m_2 ; ...; m_n ფენა (საფეხური) თითოეულ ში ის ლავით (სანგრევით), მაშინ ფენების (საფეხურების) ჯამური სიმძლავრე (სისქე, მ) იქნება:

$$\sum m = m_1 + m_2 + \dots + m_n. \quad (1.5)$$

ფენის (საფეხურის) ერთეულოვანი სისქიდან ერთი საათის განმავლობაში პირობითად მოსაპოვებელი მადნის რაოდენობა

$$\sum P = \frac{Q_{\text{სა}}}{\sum m}, \quad \frac{\mathcal{O}}{\mathcal{S}} \text{ ს} \quad (1.6)$$

შესაბამისად თითოეული ფენიდან (საფეხურიდან) წამოსული საათობრივი ტვირთნაკადი (ტ/სთ):

$$\begin{aligned} Q_{b\omega 1\beta} &= \sum P \cdot m_1 = \frac{Q_{b\omega} \cdot m_1}{\sum m} \\ Q_{b\omega 2\beta} &= \sum P \cdot m_2 = \frac{Q_{b\omega} \cdot m_2}{\sum m} \\ &\dots \\ Q_{b\omega n\beta} &= \sum P \cdot m_n = \frac{Q_{b\omega} \cdot m_n}{\sum m} \end{aligned} \quad (1.7)$$

ხოლო ლაპებიდან (სანგრევიდან) წამოსული ტვირთნაკადები (ტ/სთ):

$$\begin{aligned} Q_{b\omega 1\varphi} &= \frac{Q_{b\omega 1\beta}}{n_{\varphi}} = \frac{Q_{b\omega} \cdot m_1}{\sum m \cdot n_{\varphi}} \\ &\dots \\ Q_{b\omega n\varphi} &= \frac{Q_{b\omega n\beta}}{n_{\varphi}} = \frac{Q_{b\omega} \cdot m_n}{\sum m \cdot n_{\varphi}} \end{aligned} \quad (1.8)$$

შენიშვნა. ლავების (სანგრევების) რაოდენობა დგინდება ველის მომზადებისა და საწარმოსა და შერჩეული მომპოვებელი სამთო მანქანის მწარმოებლურობის მიხედვით.

დამხმარე ტვირთების მიხედვით სამთო საწარმოთა ტვირთნაკადები და სატრანსპორტო დანადგარების მწარმოებლურობა განისაზღვრება საპროექტო მწარმოებლურობის (A_წ) 40%-ის ოდენობით. გარდა ამისა, K და K_დ კოეფიციენტების შერჩევისას, საჭიროა გავითვალისწინოთ, რომ დამხმარე ტვირთნაკადებში ტრანსპორტირებისათვის უმეტესად გამოიყენება ციკლურ რეჟიმში მომუშავე სატრანსპორტო მანქანები,

ე.ი ტვირთნაკადები:

წლიური –

$$Q_{წ,\varphi} = \frac{0,4KA_{წ}}{K_{\varphi}}; \quad \mathcal{O}/\beta \quad (1.9)$$

დღედამური –

$$Q_{დღ,\varphi} = \frac{Q_{წ,\varphi}}{i_1}; \quad \mathcal{O}/\varphi \quad (1.10)$$

ცვლური –

$$Q_{ცვ,\varphi} = \frac{Q_{დღ,\varphi}}{i_2}; \quad \mathcal{O}/ცვ \quad (1.11)$$

საათობრივი –

$$Q_{სთ,\varphi} = \frac{Q_{ცვ,\varphi}}{T}; \quad \mathcal{O}/სთ \quad (1.12)$$

სამთო საწარმოს საპროექტო მონაცემების მიხედვით დგება ძირითადი და დამხმარე ტვირთნაკადების სქემა, რომლის კონკრეტულ კვანძში მწარმოებლურობის მიხედვით აღინიშნება ტვირთნაკადების მნიშვნელობები, ხოლო სატრანსპორტო მანქანების შემდეგ – მათი ტიპებიც. სქემაზე დაიტანება ტვირთზიდვის პორიზონტალური და დახრილი უბნების სიგრძეც.

ტრანსპორტის სქემის შედგენისას ვითვალისწინებთ სამთო საწარმოს გახსნა-მომზადებისა და დამუშავების სისტემას [4].

ტვირთნაკადების გაანგარიშებისა და სატრანსპორტო დანადგარების შერჩევისას მხედველობაში უნდა მივიღოთ ისიც, რომ თუ ძირითადი და დამხმარე ტვირთების ტრანსპორტიტება ხდება ერთი და იმავე სატრანსპორტო დანადგარით (მაგ. ლოკომოტივებით), მაშინ (1.1)...(1.4) და (1.9)...(1.12) ფორმულების შეკრებით ან, რაც დაახლოებით იგივეა (1.1)...(1.4) ფორმულების 1,4 კოეფიციენტზე გამრავლებით, იანგარიშება ის ტვირთნაკადები, რომელთა ტრანსპორტირებისთვისაც უნდა იმუშაოს შერჩეულმა დანადგარმა.

ზემოაღნიშნულის გათვალისწინებით შეიძლება ავირჩიოთ სატრანსპორტო დანადგარები და მათი შემდეგი პარამეტრები:

წლიური ტვირთნაკადების (1.9) და სატრანსპორტო გზის სიგრძის მიხედვით (აიღება ტვირთნაკადების ანუ ტრანსპორტის სქემიდან) ლიტერატურის [1, ცხრ. 1.4 და 1.5] საშუალებით შეირჩევა ლოკომოტივების რეკომენდებული ჩაჭიდების მასა.

დღედამური ტვირთნაკადების მიხედვით სატრანსპორტო ჭურჭლის ტვირთამწეობა

$$G = 0,001Q_{\text{დღ.დ}} \cdot \mathcal{O} . \quad (1.13)$$

ცვლური მწარმოებლურობისა და ზოდვის პორიზონტალური მანძილის მიხედვით სამთო საწარმოს ცვლური ხარისხობრივი მწარმოებლურობა იანგარიშება ფორმულით:

$$Q_{\text{ცვლ.დ}} = Q_{\text{ცვლ}} \cdot L; \quad \mathcal{O}_{\text{ც}}/\mathcal{O}_{\text{ც}} \quad (1.14)$$

საათობრივი მწარმოებლურობის მიხედვით და ტრანსპორტის სქემების გათვალისწინებით ვსაზღვრავთ საუბნო და კაპიტალური გვირაბების (ბრემსბერგების, ქანობების, დახრილი ჭაურებისა და ა.შ) სატრანსპორტო დანადგარების მწარმოებლურობებსა და მათ ტიპებს.

ტვირთნაკადებისა და სატრანსპორტო გზის სიგრძის, დახრის კუთხის, ტექნიკური მდგომარეობისა და სხვა კონკრეტული პარამეტრების (რომლებიც მითითებული იქნება თითოეული სახის სატრანსპორტო დანადგარის გაანგარიშებისათვის საჭირო ამოსავალ მონაცემებში) მიხედვით ვირჩევთ ძირითადი და დამხმარე სატრანსპორტო დანადგარების კონკრეტულ სახეობებს და გაფორმებთ (შეგვაძეს კორექტივები) ტრანსპორტის სქემას, ვაძლევთ მას დასრულებულ სახეს.

2. ლენტური კონვეიურის შერჩევა და გაანგარიშება

ლენტური კონვეიურის საორიენტაციო შერჩევა ხდება საათობრივი ტეირონაბადებისა და გზის დახრის კუთხის მიხედვით, თანდართული მრუდების საშუალებით (იხ. დანართი).

შერჩევისას მხედველობაში უნდა მივიღოთ, რომ ზიდვის მანძილის, ამძრავის დადგმული სიმძლავრისა და ლენტის სიმტკიცის მიხედვით შეიძლება საჭირო გახდეს სტანდარტული სიგრძის რამდენიმე კონვეიურის დადგმა. ჩვეულებრივი ტიპის გლუგზედაპირიანი ლენტით აღჭურვილი კონვეიური გამოიყენება: ბრემსბერგზე (დაღმართში), თუ დახრის კუთხე არ ღემატება $16^{\circ}\dots18^{\circ}$ -ს და ქანობზე (აღმართში) $18^{\circ}\dots22^{\circ}$ -ით დახრილი კუთხის დროს (მიინიმალური დახრა აიღება მშრალი ტვირთების ტრანსპორტირებისათვის).

სხვა შემთხვევაში უნდა გამოვიყენოთ სპეციალური ტიპის ლენტური კონვეიურები (შვერილზედაპირიანი ლენტებით; დგარში მიმჭერი ლენტით ან ლრმალარიანი მუშა, ზოგიერთ შემთხვევაში კი დახურული შტოთიც კი).

კონვეიურის ტიპის შერჩევის შემდეგ უნდა დადგინდეს მისი მირითადი პარამეტრები, მათ შორის: ამძრავი დოლების რაოდენობა, რაც განსაზღვრავს კონვეიურის საანგარიშო სქემის (კონტურის) სახეს; ლენტის სიგანე, სიჩქარე და სიმტკიცის ზღვარი გაგლეჯაზე; ამძრავის დადგმული სიმძლავრე.

კონვეიურის საანგარიშო სქემის დადგენისა და მასზე ზიდვის მიმართულების დატანის შემდეგ საანგარიშო კონტურის მახასიათებელი წერტილები ინომრება 1; 2; 3 და ა.შ ციფრებით საკონვეიურო ლენტის ჩამოქანების წერტილიდან მისი მოძრაობის მიმართულებით სწრაფობის წერტილისაკენ. ამგვარად, სწრაფობის წერტილი აღინიშნება კონტურის დანომვრის უდიდესი ციფრით, ხოლო ჩამოქანებისა – ყველა შემთხვევაში ციფრით 1.

ზემოაღნიშნული ოპერაციების შემდეგ ტარდება კონვეიურის საექსპლუატაციო გაანგარიშება, რომელიც შეიძლება შესრულდეს სამ ვარიანტად:

1) საორიენტაციო, რომლის დროსაც განისაზღვრება $W_{\text{დ}}$, $W_{\text{ც}}$, F და $N_{\text{საჭ}}$, ხოლო შემდეგ – ძრავას სიმძლავრის მარაგის კოეფიციენტი (გაანგარიშებისსათვის საჭირო მონაცემები აიღება დანართის შესაბამისი ცხრილებიდან);

2) შემოკლებული, რომლის დროსაც ხდება საანგარიშო კონტურის შედგენა და მისი მახასიათებელი წერტილების დაჭიმულობათა განსაზღვრა საანგარიშო ტრაფარების შედგენის საშუალებით. გაანგარიშების ასეთი მეთოდი საშუალებას გვაძლევს, დავადგინოთ: პროგრამული (ჩამოქანების წერტილში) $S_{\text{ჩ}}$ დაჭიმულობის, სწრაფობის წერტილში ლენტის $S_{\text{ს}}$ დაჭიმულობისა და ამძრავის F წევის მაღის დაზუსტებული მნიშვნელობები. ამ სახით გაანგარიშების ჩატარებისას ასევე საშუალება გვეძლევა,

განვსაზღვროთ საკონვეირო დგარის ზღვრული სიგრძე (L_u) ლენტის სიმტკიცის მარაგისა (m) და ძრავას სიმძლავრის მარაგის (K_d) კოეფიციენტების გათვალისწინებით;

3) სრული, ასეთ გაანგარიშებას სტუდენტები ასრულებენ მაშინ, როდესაც მათი სადიპლომო ან საკურსო პროექტის მირითადი ნაწილი ეძღვნება საკონვეირო ტრანსპორტს. ამ დროს საკონვეირო დანადგარის ყველა კვანძი და ელემენტი (ძრავა, რედუქტორი, ამძრავი ბლოკი, ლენტი და ა.შ) შეირჩევა ინდივიდუალური მათი მუშაობის კინემატიკისა და დინამიკის პარამეტრების შემდგომი დაზუსტებით. ასევე შეიძლება განხილულ იქნეს ერთდგარიანი მაგისტრალური შუალედურამძრავებიანი კონვეირის ეფექტურად გამოყენების საკითხიც. მართვის ეფექტური ელექტრული სქემების განხილვით შეიძლება დაზუსტდეს პროგრამული დაჭიმულობის ავტომატური რელგულირების საშუალებები წევის ფაქტორის ან დგარში წინადობის ძალების ცვლილების შემთხვევაში.

საორიენტაციო გაანგარიშებას ატარებს, სამთო პროფილის ყველა სტუდენტი, გარდა სმენერიალობისა. მისი მსვლელობა მოცემულია ქვემოთ.

შემოკლებულ გაანგარიშებას ახორციელებს სმენერიალობის ყველა სტუდენტი; აგრეთვე სხვა სპეციალობის სტუდენტებიც, როდესაც მათი სამუშაოს სპეციფიკა, ითხოვს გაანგარიშების ამ სახეს. გაანგარიშების მსვლელობა მოგვყავს ქვემოთ.

სრული გაანგარიშება ტარდება პროექტის თემისა და შინაარსის შესაბამისად, ხელმძღვანელის უშუალო მითითებით. ამიტომ ამ ნაშრომში, ეს გაანგარიშება არ განიხილება.

2.1. საორიენტაციო გაანგარიშება

კონვეირის შერჩევა (იხ. შესავალი) ხდება დანართში მოცემული მრუდების საშუალებით (იხ. ნახატები 1...17), ხოლო მისი მირითადი ტექნიკური პარამეტრები (v მ/წ – ლენტის სიჩქარე და N_დ, კვტ – ამძრავის დადგმული სიმძლავრე) აიღება 1-ლი ცხრილიდან. გარდა ამისა, საჭიროა q'_დ და q''_დ დნ/მ – შესაბამისად კონვეირის დატვირთული და ცარიელი შტოების საყრდენი გორგოლაჭების მბრუნავი ნაწილების მასა (იხ. ცხრ. 2), დანადგარის ერთეულ სიგრძეზე; q_ლ, დნ/მ – საკონვეირო ლენტის გრძივი მეტრის მასა (იხ. ცხრ. 3) და ω - ლენტის მოძრაობის კუთრი წინადობის კოეფიციენტი (იხ. ცხრ. 4).

ამ მონაცემების საშუალებით ვანგარიშობთ:

დატვირთული შტოს წინადობას

$$W_{ლ} = (q + q'_დ + q_{ლ})L\omega \cos\alpha \pm (q + q_{ლ})L\sin\alpha, \text{ დნ} \quad (2.1)$$

სადაც $q = \frac{q_{ლ}}{3,6v}, \frac{\frac{q}{3}}{\frac{1}{3}} \text{ არის დანადგარზე ტვირთის გრძივი სიმკვრივე}$

ცარიელი შტოს წინადობას

$$W_{ც} = (q''_დ + q_{ლ})L\omega \cos\alpha \pm q_{ლ}L\sin\alpha, \text{ დნ} \quad (2.2)$$

საკონვეირო ამძრავის წევის ძალას

$$F = 1,1(W_{\text{ლ}} + W_{\text{ც}}), \text{ დნ} \quad (2.3)$$

ამძრავის საჭირო სიმძლავრეს

$$N_{\text{საჭ}} = \frac{Fv}{102\eta}, \text{ კვტ} \quad (2.4)$$

ძრავას სიმძლავრის მარაგის კოეფიციენტს

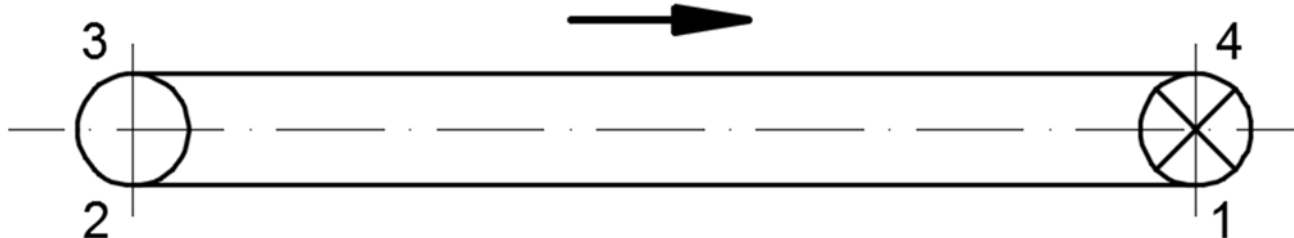
$$K_{\text{ლ}} = \frac{N_{\text{ლ}}}{N_{\text{საჭ}}} = 1,1 \dots 1,3 \quad (2.5)$$

საორიენტაციო გაანგარიშების შედეგები ჩაითვლება დამაკმაყოფილებლად, თუ $K_{\text{ლ}}$ (2.5) გამოსახულებით გათვალისწინებული ნორმის ფარგლებში ან მის ახლოსაა.

2.2. შემოკლებული გაანგარიშება

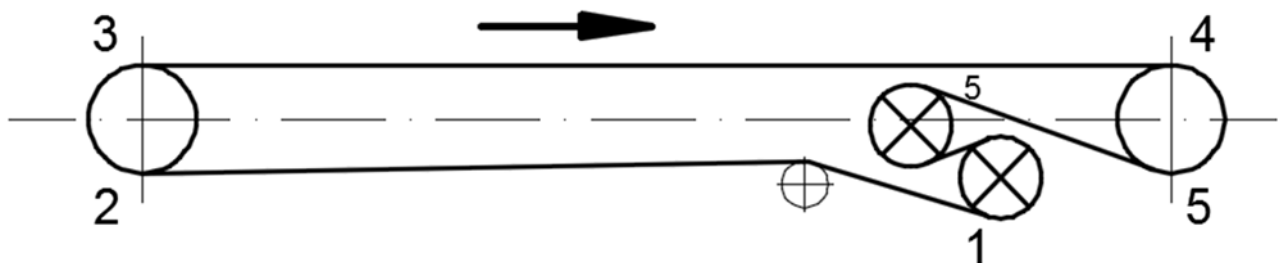
კონვეიერის შერჩევა ამ შემთხვევაშიც ხდება საორიენტაციო გაანგარიშების ანალოგიურად, ხოლო ძირითადი ტექნიკური პარამეტრები (იხ. ცხრ. 1) ამოიწერება სრულად.

იმ შემთხვევაში, თუ კონვეიერის ამძრავი ერთდოლიანია (\otimes), მაშინ საანგარიშო სქემას ექნება 2.1 ნახაზზე ნაჩვენები სახე, ხოლო ისრით ნაჩვენები ზიდვის მიმართულების შემთხვევაში (მიმართულება პირობითია) კონტურის მახასიათებელი წერტილები იქნება 1; 2; 3; 4, რომელთა განლაგება ასევე ნაჩვენებია 2.1 ნახაზზე.



ნახ. 2.1

თუ კონვეიერის ამძრავი ორი ან მეტი დოლისაგან შედგება, მაშინ ამძრავს ეწოდება მრავალდოლიანი ($\otimes\otimes$) და საანგარიშო სქემას ექნება 2.2 ნახაზზე ნაჩვენები სახე, ხოლო ისრით ნაჩვენები ზიდვის მიმართულების შემთხვევაში (მიმართულება პირობითია) კონტურის მახასიათებელი წერტილები იქნება 1; 2; 3; 4; 5, რომელთა განლაგება ნაჩვენებია 2.2 ნახაზზე, განლაგების მეთოდი აღწერილია შესავალში.



ნახ. 2.2

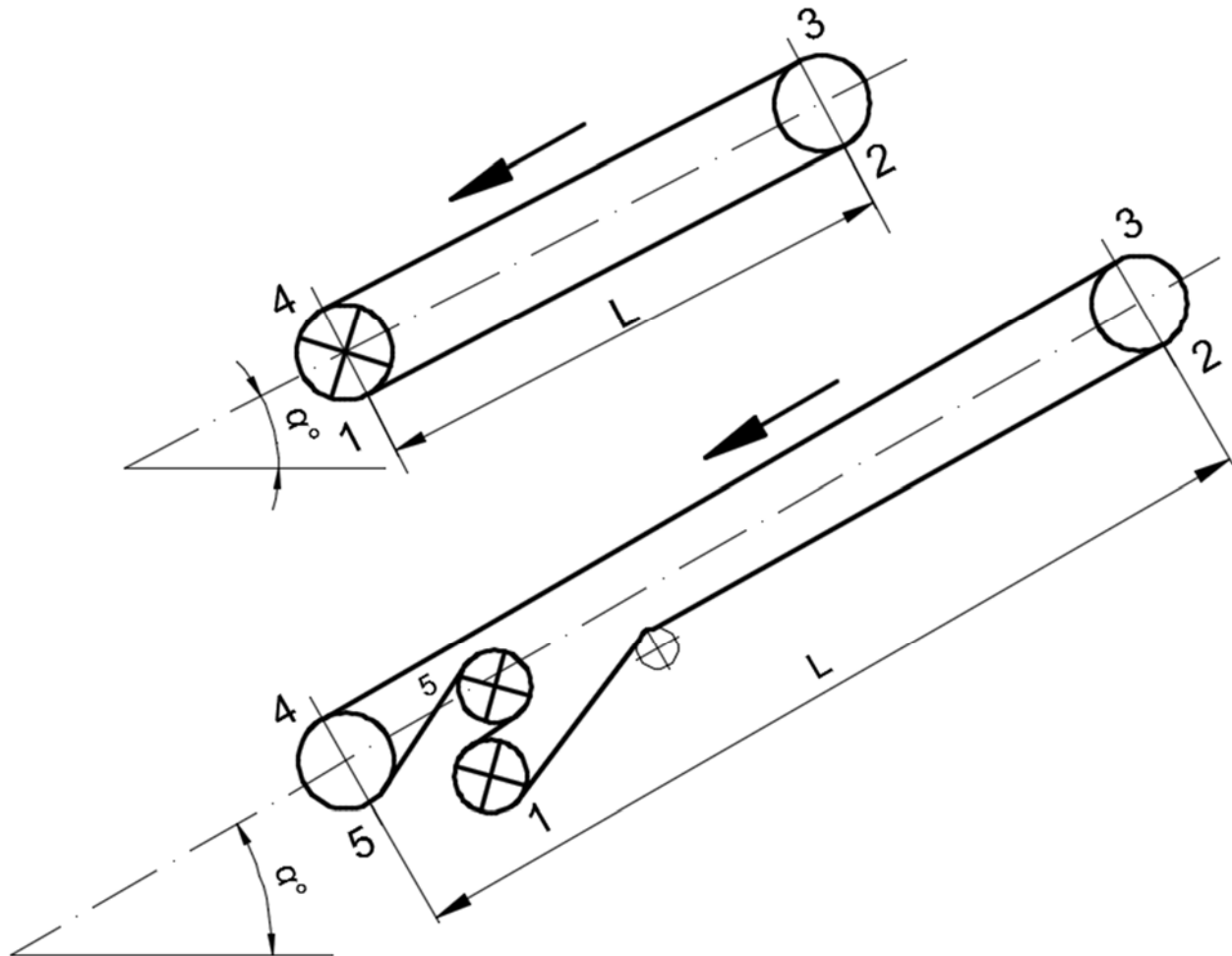
პორიზონტალურ და დახრილ აღმავალ უბნებზე ტვირთზიდვის დროს საკონვეიერო ამძრავი უნდა მოთავსდეს ტვირთის დაცლის პუნქტში (იხ. ნახაზები 2.1 და 2.2). ბრემბსბერგზე ანუ დაღმართზე ტვირთზიდვის შემთხვევაში კი საჭიროა დანადგარის ფაქტობრივი დახრის ა კუთხისა და მისი გრძივი სიმკვრივისათვის შესაბამისი აკრიტიკული კუთხის ურთიერთთანაფარდობის განსაზღვრა.

დანადგარის დახრის კრიტიკული კუთხე განისაზღვრება ფორმულით

$$\operatorname{tg} \alpha_c = \frac{q + q'_c - q''_c}{q + 2q_{\text{ლ}}} \cdot \omega \quad (2.6)$$

განვიხილავთ ამ კუთხეების ურთიერთშედარების ორ შემთხვევას:

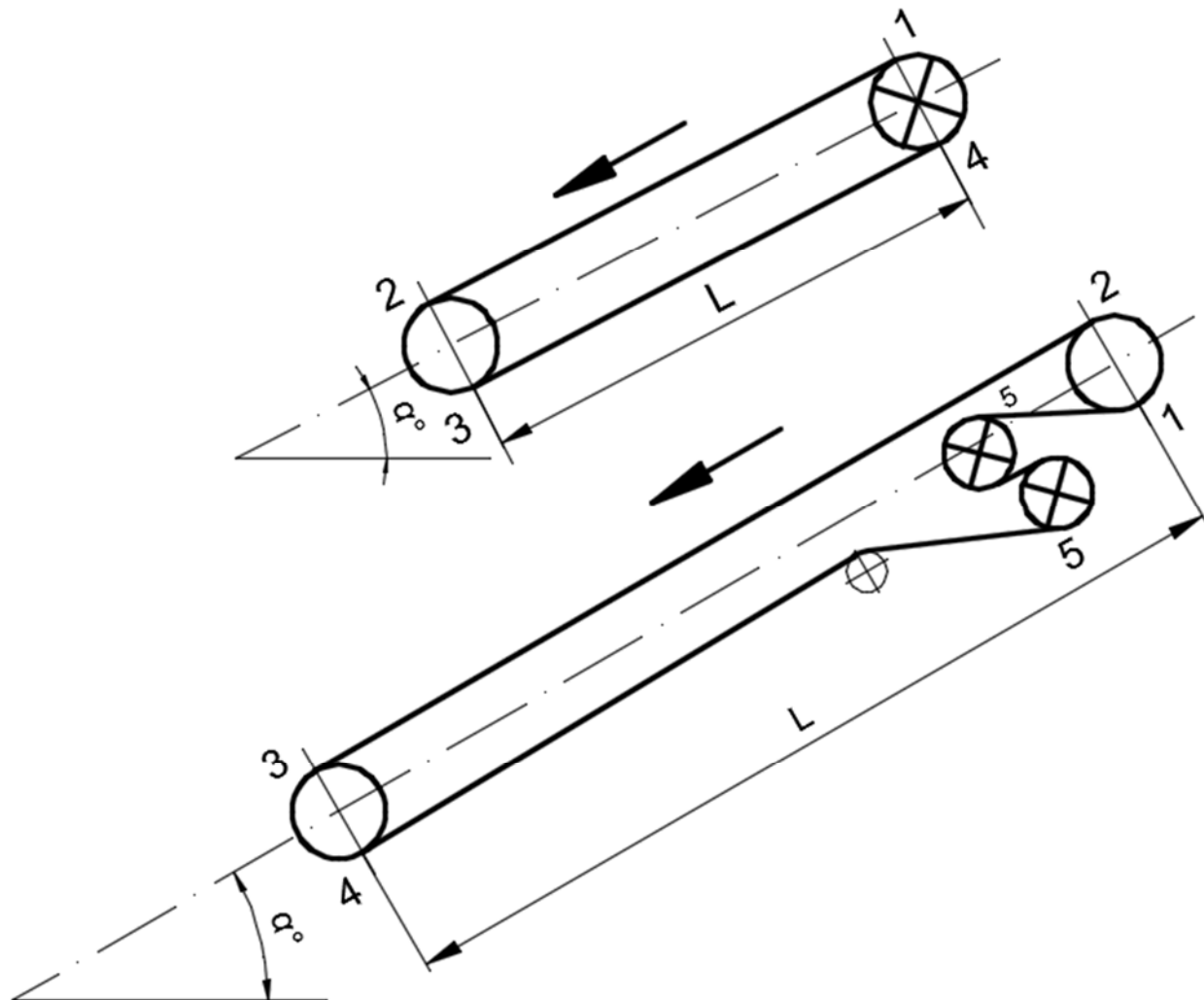
1. თუ $\alpha_c \geq \alpha$, მაშინ ამძრავი განლაგდება საბრემსბერგო კონვეიერის დაცლის პუნქტში ისე, როგორც ეს ასახულია 2.3 ნახაზზე. ამ შემთხვევაში დანადგარი მუშაობს ძრავულ რეჟიმში. სქემაზე ტვირთზიდვის მიმართულების დატანის შემდეგ მახასიათებელი წერტილების დატანის მეთოდი შესაგალ ში აღწერილის ანალოგიურია.



ნახ. 2.3

2. თუ $\alpha_c < \alpha$, მაშინ ამძრავი მოთავსდება საბრემსბერგო კონვეიერის დატვირთვის პუნქტში ისე, როგორც ეს ნაჩვენებია 2.4 ნახაზზე. ამ შემთხვევაში დანადგარი მუშაობს გენერატორულ რეჟიმში და ამძრავი დოლების რაოდენობის

შესაბამისად საანგარიშო სქემას ექნება 2.4 ნახაზზე აღნიშნულიდან ერთ-ერთი სახე.



ნახ. 2.4

გაანგარიშების მიმდევრობა ყველა შემთხვევაში ერთნაირია და ითვალისწინებს მოცემული Q ტო ტვირთნაკადების, L სატრანსპორტო გზის სიგრძისა და დახრის კუთხის შემთხვევაში დანადგარის შემოწმებას დადგმული სიმძლავრის მარაგსა ($K_d=1,1\ldots 1,3$) და საკონვეიერო ლენტის სიმტკიცის მარაგზე ($m=7,5\ldots 11,5$).

ლენტური კონვეიერის გაანგარიშების ყველაზე დამახასიათებელი მაგალითია საბრემსბერგო დანადგარის გაანგარიშება. ქვემოთ მოყვანილია ლენტური კონვეიერის შემოკლებული გაანგარიშების კონკრეტული მაგალითი ყველა კრიტიკული მომენტის განხილვით.

2.3. ლენტური კონვეიურის შემოკლებული გაანგარიშების რიცხვითი მაგალითი

ამოსავალი მონაცემები:

1. კონვეიურის გამოყენების ადგილი – ბრემსბერგი;
2. საათობრივი ტვირთნაკადები, ტ/სთ, – $Q_{\text{სთ}}=270$
3. ტრანსპორტირების სიგრძე, მ, – $L=700$
4. სატრანსპორტო გზის დახრა, გრად, – $\alpha=-12$
5. სიმკვრივე ნაფარში, ტ/ტ³ – $\gamma_6=0.95$
6. გარემო, რომელშიც იმუშავებს კონვეიური – ტენიანი
7. სატრანსპორტო ტვირთის მაქსიმალური ნატეხის ზომა, მმ, – $a_{\text{max}}=250$

ამოსავალი მონაცემების მიხედვით დანართში მოცემული მრუდების საშუალებით ვირჩევთ კონვეიურის ტიპს. ამ შემთხვევაში – 2Л80У-ს, დადგმული სიმძლავრით $N_{\text{დ}}=110$ კვტ და ლენტის სიჩქარით $v=2,5$ მ/წმ (დანართი ნახ. 14). ამოვიწერთ გაანგარიშებისათვის საჭირო დანარჩენ ტექნიკურ მონაცემებსაც (იხ. ცხრ. 1). მონაცემების მიხედვით 2Л80У ტიპის კონვეიური ორდოლიანია, ამიტომ საანგარიშო სქემას ექნება 2.2 ნახატზე მოცემული სახე.

შერჩეულ კონვეიურს ვამოწმებთ ლენტის სიგანეზე:

$$B = \frac{\sqrt{Q_{\text{სთ}}}}{c v \gamma}, \quad \text{გ}$$

სადაც c არის კოეფიციენტი, რომელიც დამოკიდებულია დანადგარის α დახრაზე და მისი მნიშვნელობა აიღება დანართის მე-7 ცხრილიდან:

$$B = \frac{\sqrt{270}}{325 \cdot 2,5 \cdot 0,95} \approx 0,63 < 0,8, \quad \text{გ}$$

ე.ო. პირობა შესრულებულია.

ლენტის სიგანეს ვამოწმებთ სატრანსპორტო რიგითი ტვირთის უდიდესი ნატეხის სიმსხოზე:

$$B=2a_{\text{max}}+200=2 \times 500+200=700 \quad \text{გგ}$$

ეს პირობა შესრულებულია, ვინაიდან შერჩეული კონვეიურის ლენტის სიგანე $B=800$ გგ. დახარისხებული ტვირთის ტრანსპორტირებისას კი

$$B=3,3a_{\text{სა}}+200 \quad \text{გგ}$$

ამძრავის ადგილმდებარეობის განსაზღვრისათვის განგარიშობთ დანადგარის დახრის კრიტიკულ კუთხეს ფორმულით

$$\operatorname{tg} \alpha_s = \frac{q + q'_\delta - q''_\delta}{q + 2q_{\text{ლ}} \cdot \omega} \cdot \omega$$

სადაც

$$q = \frac{Q_{\text{სთ}}}{3,6v} = \frac{270}{3,6 \cdot 2,5} = 30 \quad \text{ლ/გ} \quad (2.7)$$

$$\left. \begin{array}{l} q'_\delta = 15 \text{ ღნ/გ} \\ q''_\delta = 8 \text{ ღნ/გ} \end{array} \right\} \text{შეირჩევა } \theta=2^\circ \text{ ცხრილიდან, } \gamma_6, l'_\delta, l''_\delta \text{ და B-ს გათვალისწინებით;}$$

$q_{\varphi}=14 \text{ ღნ/გ}$ შეირჩევა $\theta=3^\circ$ ცხრილიდან; $\omega=0,06$ შეირჩევა $\theta=4^\circ$ ცხრილიდან.

შესაბამისად

$$\operatorname{tg} \alpha_\delta = \frac{30+15-8}{30+2 \cdot 14} \cdot 0,06 \approx 0,0384 \Rightarrow \alpha_\delta = 2^\circ 12'$$

მივიღეთ, რომ $\alpha=12^\circ > \alpha_\delta=2^\circ 12'$, ე.ი. დანადგარი მუშაობს გენერატორულ რეჟიმში და საანგარიშო სქემას ექნება 2.5 ნახაზზე მოცემული სახე, ხოლო კონტურის მახასიათებელი წერტილების დანომვრა მოხდება ზემოთ აღწერილი მეთოდით.

მიღებული საანგარიშო სქემის მიხედვით ვსაზღვრავთ წინადობას დატვირთული და ცარიელი კონვეიერებისათვის:

- ა) დატვირთული შტოს წინადობა ცარიელი კონვეიერის შემთხვევაში, ე.ი. როდესაც $q=0$, იქნება:

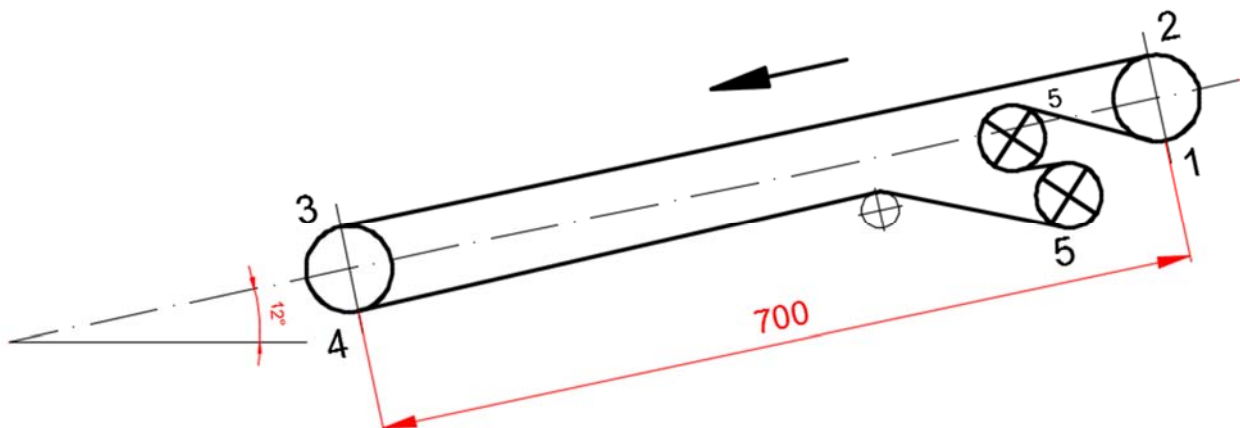
$$W_{\varphi} = (q + q'_\delta + q_{\varphi}) L \omega \cos \alpha \pm (q + q_{\varphi}) L s \sin \alpha = (0 + 14 + 15) \cdot 700 \cdot 0,06 \cdot 0,9781 - (0 + 14) \cdot 700 \cdot 0,2079 = \\ = 984, \text{ ღნ}$$

- ბ) დატვირთული შტოს წინადობა დატვირთული კონვეიერისათვის, ე.ი. როდესაც $q=30 \text{ ღნ/გ}$ (ი. 2.7. ფორმულის მონაცემები), იქნება

$$W_{\varphi} = (30 + 14 + 15) \cdot 700 \cdot 0,06 \cdot 0,9781 - (30 + 14) \cdot 700 \cdot 0,2079 = 2419 - 6468 \approx -4050 \text{ ღნ}$$

- გ) ცარიელი შტოს წინადობას

$$W_C = (q''_\delta + q_{\varphi}) L \omega \cos \alpha \pm q_{\varphi} L s \sin \alpha = (14 + 8) \cdot 700 \cdot 0,06 \cdot 0,9781 + 14 \cdot 700 \cdot 0,2079 = 2940, \text{ ღნ}$$



ნახ. 2.5

2.5 ნახ-ზე მოცემული სქემის მიხედვით ვადგენთ საანგარიშო ტრაფარეტს, რომლითაც ვსაზღვრავთ ლენტის დაჭიმულობას მახასიათებელ წერტილში.

ცხრილი 1

| № | დაჭიმულობის ასოთი გამოსახვა | დაჭიმულობის გამოსახვა S ₁ -ის საშუალებით | რიცხვითი გაანგარიშება | | ადანგარი- შება | |
|---|--|--|--------------------------|-------|-------------------|------|
| | | | q=0 | q=30 | q=0 | q=30 |
| 1 | 2 | 3 | 4 | 5 | 6 | 7 |
| 1 | S ₁ = | S ₁ = | 1677 | -585 | - | 4883 |
| 2 | S ₂ =KS ₁ | S ₂ =KS ₁ =1,07S ₁ | 1795 | -625 | - | 4843 |
| 3 | S ₃ =S ₂ +W _ღ | S ₃ =KS ₁ +W _ღ | 2779 | -4675 | - | 793 |
| 4 | S ₄ =KS ₃ | S ₄ =K ² S ₁ +KW _ღ | 2973 | -5003 | - | 465 |
| 5 | S ₅ =S ₄ +W _ღ | S ₅ =K ² S ₁ +KW _ღ +W _ღ | 5913 | -2063 | - | 3405 |

ტრაფარეტის მე-2 და მე-3 სვეტის შევსების შემდეგ ეილერის ფორმულის გამოყენებით ვადგენთ განტოლებათა სისტემას:

$$\begin{cases} S_5 = K^2 S_1 + KW_{\dot{\varphi}} + W_G \\ S_5 = S_1 e^{\mu\beta} \end{cases} \quad (2.9)$$

საიდანაც

$$S_1 = \frac{KW_{\dot{\varphi}} + W_G}{e^{\mu\beta} - K^2} \quad (2.10)$$

(2.10) გამოსახულებაში $K=1,05 \dots 1,07$ კოეფიციენტია, რომელიც ითვალისწინებს მრუდწირულ უბნებზე წარმოშობილ წინაღობას, ხოლო $e^{\mu\beta}$ ამძრავის წევის ფაქტორი, რომლის რიცხვითი მნიშვნელობა განისაზღვრება ყოველი კონკრეტული შემთხვევისათვის მე-5 და მე-6 ცხრილების გამოყენებით.

განხილული მაგალითისათვის, როდესაც ფოლადის გაჩარსულ დოლზე ლენტის შემთხვევის კუთხე $\beta=360^\circ$ (ი. 2780V ლენტური კონვეიური ტექნიკური მაჩვენებლები, ცხრილი 1), $\mu=0,2$ (მე-5 ცხრილიდან ტენიანი ატმოსფეროს შესაბამისად); $e^{\mu\beta}=3,52$ (ცხ. 6).

(2.10) გამოსახულებიდან S_1 განისაზღვრება ორი შემთხვევისათვის:ა) როდესაც $q=0$, $W_{\dot{\varphi}}$ -სათვის

$$S'_1 = \frac{KW_{\dot{\varphi}} + W_G}{e^{\mu\beta} - K^2} = \frac{1,07 \cdot 984 + 2940}{3,52 - (1,07)^2} = 1677 \text{ ღნ}$$

ბ) როდესაც $q \neq 0$, $W_{\dot{\varphi}}$ -სათვის

$$S_1 = \frac{KW_{\dot{\varphi}} + W_G}{e^{\mu\beta} - K^2} = \frac{1,07 \cdot (-4050) + 2940}{3,52 - (1,07)^2} = -585 \text{ ღნ}$$

S'_1 -ის და S_1 -ის მნიშვნელობები შეგვაქვს საანგარიშო ტრაფარეტში და ვსაზღვრავთ დაჭიმულობებს დანარჩენ წერტილებში.

ტრაფარეტის მე-4 სვეტში მახასიათებელი წერტილების დაჭიმულობა $q=30$ დნ/გ შემთხვევისათვის ექვემდებარება გადაანგარიშებას, ვინაიდან დაჭიმულობა უარყოფითი ნიშნით, დაუშვებელია. გადაანგარიშებისათვის ვსაზღვრავთ მინიმალურ დასაშვებ დაჭიმულობას ფორმულით

$$S_{min} = (5 \dots 10)(q + q_{\dot{\varphi}})l' \cos \alpha , \quad (2.11)$$

სადაც $5 \dots 10$ არის კოფიციენტი, რომელიც შეირჩევა ლენტის სახეობის მიხედვით, პერძოდ, მაქსიმუმი ან მის ახლოს აიღება შრეობრივი დარეზინებული ლენტებისათვის, მინიმუმი ან მის ახლოს – გვარლებიანი ლენტისათვის. $l=1,2$ მ – საყრდენ გორგოლაჭებს შორის მანძილი კონვეირის დატვირთულ შტოზე, მაშინ

$$S_{min} = 9(30 + 14) \cdot 1,2 \cdot 0,9781 = 465$$

S_{min} -ის მიღებული მნიშვნელობა შეგვაძეს საანგარიშო ტრაფარეტის უდიდესი მოდულის მქონე უარყოფითი რიცხვის გასწვრივ მე-5 სვეტის შესაბამის უჯრაში (იხ. საანგარიშო ტრაფარეტი) და რამდენითაც (განხილული მაგალითის შემთხვევაში $5003+465=5468$ დნ-ით) გადიდდა ამ წერტილში დაჭიმულობა, იმდენით უნდა გადიდდეს დანარჩენი წერტილების დაჭიმულობებიც.

როგორც ანალიზმა გვიჩვენა, დანადგარი მუშაობს სამუხრუჭო რეჟიმში, ამიტომ სამუხრუჭო ძალა $q=0$, რეჟიმისათვის

$$F = S_5 - S_1 = 5913 - 1677 = 4236 \text{ დნ},$$

ხოლო $q=30$ დნ/გ, რეჟიმისათვის

$$F = S_5 - S_1 = 4883 - 3405 = 1478 \text{ დნ.}$$

შესაბამისად ამძრავის საჭირო სიმძლავრე რეჟიმისათვის $q=0$

$$N_{საჭ} = \frac{F \cdot v \cdot \eta}{102} = \frac{4236 \cdot 2,5 \cdot 0,85}{102} = 88,04 \text{ ძვტ}$$

რეჟიმისათვის $q=30$ დნ/გ

$$N_{საჭ} = \frac{F \cdot v \cdot \eta}{102} = \frac{1478 \cdot 2,5 \cdot 0,85}{102} = 30,71 \text{ ძვტ}$$

როდესაც $q=0$, ამძრავის საჭირო სიმძლავრე გაცილებით მეტია $q=30$ დნ/გ რეჟიმის შესაბამის სიმძლავრეზე, ამიტომ ამძრავის სიმძლავრეს ვირჩევთ $q=0$ შემთხვევისათვის.

მაშინ ძრავის დადგმული სიმძლავრის მარაგის კოეფიციენტი

$$K_{ლ} = \frac{N_{ლ}}{N_{საჭ}} = \frac{110}{88,04} = 1,25 < 1,3,$$

ე.ი. პირობა დაქმაყოფილებულია.

ლენტის სიმტკიცის ზღვარი კი

$$m = \frac{S_{gag}}{S_{max}} = \frac{64000}{5913} = 10,82 < 11,5$$

რაც აგრეთვე ნორმის ფარგლებშია.

$S_{გაგ}$ მნიშვნელობა აიღება 1-ლი ცხრილიდან ან, $7,5 \leq m \leq 11,5$ პირობა არ შესრულდა, საკონვეირო ლენტების სპეციალური საცნობარო ლიტერატურიდან.

დანართი

ცხრილი 1

ლენტური კონვეირის ძირითადი კვანძების ტექნიკური მონაცემები

| № | ლენტური კონვეი- რის ტიპი | მაქსმ ალუ რი მწარმ ოებ- ლუ- რობა | მარ გი დე ნო ბა | ამძრავი | | | | | | | ლენტი | | | ნახი ჭიათ | ჭიათ | | | |
|----|--------------------------------|--|-----------------------------|-----------------------------|-------------------------|-----------------------------|--------------------------------------|---------------------------------|-----------------------------------|-------------------|-------------------------------------|--------------------------|--|--|--------|------------|-----|--|
| | | | | დოლი | | დოკე | | ძრავა | | | რედუ ქი სიმძლ ავრე, კებ | ბიპი რი | ბიპი რის გადა ცების რიცხ ვი | ბიპი რის გადა ცების რიცხ ვი | | | | |
| | | | | რა ოდ ებ რი, მმ | დია მებ რი, მმ | რა ოდ ებ რი, მმ | ერთი ბის სიმძლ ავრე, კებ | ბიპი რი | ბრუ ნის სის ირე, ბრ/წ | | | | | | | | | |
| 1 | 2 | 3 | 4 | 5 | 6 | 7 | 8 | 9 | 10 | 11 | 12 | 13 | 14 | 15 | 16 | 17 | | |
| 1 | 1Л80 | 330... 420 | 2 | 400 | 1 | 40 | 40 | КОФ41-4 ЭДКОФ43-4 ВРП41-4 | 1500 | 13,95 | ПВХ120/4 | 352 | 2,0 | 480 | ნახ.1 | | | |
| 2 | 1ЛТ80 | | 2 | | | | | | | | 2УБКНЛ65/5 | | 1,6 | 470 | | | | |
| 3 | 1Л80-01 | | 2 | | | | | | | | ПВХ120/4 | | 2,0 | 480 | | | | |
| 4 | 1Л80-02 | | 2 | | | | | | | | 23795 | ПВХ100/5 2УБКНЛ150/4 | 1,6 | 470 | ნახ.2 | | | |
| 5 | 1ЛБ80 | | 2 | 500 | 2 | 55 | 110 | | | 17,35 | | | 2,0 | 240 | ნახ.3 | | | |
| 6 | 1ЛТП80 | | 2 | | | | | | | 18975 | ПВХ120/4 | 2,0 | 470 | ნახ.4 | | | | |
| 7 | 2Л80 | 330 | 2 | | 500 | 2 | 55 | ЭДКОФ43-4 | ВР 250 | 41482 | | 23795 | | 1,6 | 480 | ნახ.5 | | |
| 8 | 2ЛТ80 2ЛБ80 | 480 | 2 | | | 2 | 55 | | | | | | | 2,0 | 480 | | | |
| 9 | 1Л100К1 | ? | 2 | 630 | 1 | 75 | 75 | | | | | | | ПВХ120/5 | 2,0 | ნახ.6 | | |
| 10 | 1Л100К1-01 | 580 | 4 | | 2 | 75 | 150 | | | | | | | 2К-300Н/4+2 | 530 | | | |
| 11 | 1Л100 | 545... 580 | 2 | | 2 | 100 | 200 | | | 41482 | | 25 | | 2K-300/4+2 | 530 | 2,0 | 440 | |
| 12 | 1ЛУ100 | | 1 | | 2 | 100 | 200 | | | | | | | ПВХ120/5 | 1150 | 2,0 | 240 | |
| 13 | 2ЛУ100 | | 1 | | 2 | 250 | 500 | | | | | | | 2РТЛО 0-2500 | 2450 | 2,0 | 280 | |
| 14 | 1ЛБ100 | | 1 | 630 | 1 | 100 | 100 | | | | | | | 2K-300Н/4+2 | 1180 | 2,0 | 280 | |
| 15 | 1ЛТ100 | | 2 | 800 | 3 | 100 | 300 | | | 1480 | | 40 | | 2K-300Н/4+2 | 880 | 1,6 2,5 | 480 | |
| 16 | 2ЛТ100 | | 2 | | 2 | 250 | 500 | | | | | | | 2РТЛО 0-2500 | 2450 | 2,0 | 480 | |
| 17 | 2ЛЛ100 | | 1 | | 2 | 250 | 500 | | | | | | | 2РТЛО 0-2500 | 2450 | 2,0 | 270 | |
| 18 | 1ЛУ-120 | 1200 | 2 | | 1 | 250 | 250 | | | | | | | 2РТЛО 0-2500 | 2940 | 2,5 | 240 | |
| 19 | 2ЛБ-120 | 1470 | 1 | | 2 | 250 | 500 | BAO 0355-4 BAO-2-280-14 | 1485 1480 | 20 | | 20 | | 2РТЛО 0-2500 | 2940 | 3,15 | 470 | |
| 20 | 2ЛУ120А | 1500 | 2 | 1250 | 2 | 500 | 1000 | | | | | | | 2РТЛО 0-2500 | 2940 | 3,15 | 400 | |
| 21 | 2ЛУ120Б | | 3 | | 3 | 500 | 1500 | AK 313-37-6 | 985 | 20,0 | 21,23 | ПВХ 120/4 2УБКНЛ-65/5 | 640 | 3,15 | ნახ.12 | | | |
| 22 | 2ЛУ120В | | 2 | | 4 | 250 | 1000 | | | | | | 2РТЛО 0-2500 | 2940 | 3,15 | 600 | | |
| 23 | 1Л80У | 480 | 1 | 400 | 1 | (37) | 55,0 | 110 | ЭДКОФ43-4 | 1500 | 23,795 /18,975 | TK 400-5 | 1920 | 2,0- 2,5 | 480 | | | |
| 24 | 1Л80У-? | ? | ? | | | | | | | | | | | | | ნახ.13 | | |
| 25 | 1ЛТП80 | 420 | 2 | | | | | | | | | | 2РТЛО 0-2500 | 2940 | 2,0 | 210 | | |
| 26 | 1ЛТ80У | ? | 1 | | | | | | | | | | 2РТЛО 0-2500 | 2940 | 2,0 | 160 | | |
| 27 | 2Л80У | 480... 540 | 2 | 500 | ? | 55,0 | 110 | ЭДКОФ43-4 | 1500 | 23,795 /18,975 | TK 400-5 | 1920 | 2,0- 2,5 | 480 | ნახ.14 | | | |
| 28 | 2Л80У-01 | | 2 | | | | | | | | | | | | | | | |
| 29 | 2ЛТ80У | | ? | | | | | | | | | | | | | | | |
| 30 | 2ЛТП80У | 420... 500 | 2 | 500 | 3 | 55,0 | 165 | ЭДКОФ43-4 | 1500 | 23,795 /18,975 | TK 400-5 | 1500 | 2,0- 2,5 | 480 | ნახ.15 | | | |
| 31 | 2ЛУ80У-02 | | 2 | | | | | | | | | | | | | | | |
| 32 | 2ЛУ80У-03 | | 2 | | | | | | | | | | | | | | | |
| 33 | 2ЛУ80У-02 | 250... 850 | 2 | 630 | 1 | 75 | 75 | BP25054 | 1500 | 25 | 2РТЛ 0-1500У | 1500 | 2,0- 2,5 | 480 | ნახ.15 | | | |
| 34 | 1Л80У | | 2 | | | | | | | | | | | | | | | |
| 35 | 1Л100У-01 | | 2 | | | | | | | | | | | | | | | |
| 36 | 2ЛУ100У | 250... 850 | 2 | | 2 | 110 | 220 | BP28054 | 1500 | 20 | 2РТЛ 0-1500У | 2500 | 2,5 | 480 | ნახ.15 | | | |
| 37 | 2Л100У-01 | | 2 | | | | | | | | | | | | | | | |
| 38 | 2ЛТ100У-01 | | 2 | | | | | | | | | | | | | | | |
| 39 | 3Л100У | 800... 3000 | 2 | 800 | 2 | 250 | 500 | BAOK45056 | 1000 | 22,4 | 2РТЛ 0-2500 | 2500 | 2,5 | 480 | ნახ.15 | | | |
| 40 | 3Л100У-02 | | 2 | | | | | | | | | | | | | | | |
| 41 | 3ЛТ100У | | 2 | | | | | | | | | | | | | | | |
| 42 | 2ЛУ160А | 800... 3000 | 2 | 2 | 500 | 1000 | AK313-37-6 | 1000 | 20 | РТЛ 0-2500 | 4000 | 3,15 | 540 | ნახ.15 | | | | |
| 43 | 2ЛУ160Б | | 2 | | | | | | | | | | | | | | | |
| 44 | 2ЛУ160В | | 2 | | | | | | | | | | | | | | | |
| 45 | 5ЛУ-2000 | 5000 | | | 4 | 2200 | 10000 | ДАФ3-2016-28 | 250 | | 2РТЛ-500 | | 5,0 | | | | | |
| | 3ЛН80 | 250 | 1 | | 2 | 100 | 200 | MA36-51/6Ф | 986 | 21,6 | ОПБ | 552 | 1,6 | 180 | | | | |
| | 3ЛН100 | 400 | 1 | | 2 | 160 | 320 | 4A35586 | 1000 | 40 | | 1500 | 1,6 | 180 | | | | |

ცხრილი 2

საყრდენი გორგოლაჭების მბრუნავი ნაწილების მასა კონვეირის დატვირთული (q'_3) და ცარიელი (q''_3) შტოების ერთ გრძივ მეტრზე

| სატრანსპორტო ტონნაზე, გ/მ ² | მანძილი საყრდენ გორგოლაჭებს შორის, მ | | (q'_3) და (q''_3) დნ/მ ლენტის სხვადასხვა სიგანისათვის B, მმ | | | | | | | | |
|--|--------------------------------------|-----------------|---|-------------|--------------|--------------|--------------|--------------|--------------|--------------|--------------|
| | დატვირთულ შტოზე, მ | ცარიელ შტოზე, მ | 400 | 500 | 650 | 800 | 1000 | 1200 | 1400 | 1600 | 2000 |
| დატვირთული შტოსათვის | | | | | | | | | | | |
| ≤ 1,6 | 1 1,2 | — — | 10,0 8,3 | 11,5 9,6 | 12,5 10,4 | 17,9 15,0 | 20,7 17,2 | 24,3 20,3 | 47,5 39,6 | 63,0 52,5 | — — |
| ≥ 1,6 | 1 1,2 | — — | — — | — — | — — | 38 31,7 | 43 35,5 | 50 41,7 | 86,5 72,1 | 92,8 77,3 | 104 86,6 |
| ცარიელი შტოსათვის | | | | | | | | | | | |
| ≤ 1,6 | — — | 2,4 3 | 2,5 2,0 | 3,1 2,5 | 4,4 3,5 | 8,0 6,4 | 9,0 7,2 | 11,8 8,7 | 16,7 12,3 | 18,2 14,6 | — — |
| ≥ 1,6 | — — | 2,4 3 | — — | — — | — — | 10,4 8,3 | 11,7 9,3 | 12,9 10,3 | 29,6 23,7 | 40,4 32,3 | 49,6 39,7 |

ცხრილი 3

ლენტის 1 გრძივი მეტრის საშუალო მასა $q_{ლ}$, დნ/მ

| ლენტის სახე | კლ.საშ., (დნ/მ) ლენტის სიგანისას B, მმ | | | | | | | | |
|------------------------|--|-----|-----|------|------|------|------|------|------|
| | 400 | 500 | 650 | 800 | 1000 | 1200 | 1400 | 1600 | 2000 |
| შრეობრივი დარეზინებული | 4,5 | 9 | 11 | 14 | 16,6 | 20 | 24 | 28 | 34,5 |
| გვარდებიანი | — | — | — | 25,2 | 40 | 47,5 | 57,5 | 75 | 78,5 |

ცხრილი 4

წინაღობის კოეფიციენტი, ω

| კონვეირის ადგილმდებარება | გარემო პირობები | წინაღობის კოეფიციენტი, ω |
|--------------------------|--|--------------------------|
| გამთბარ სათავსში | დაბალი ტენიანობა, მტკრის გარეშე | 0,030 |
| | ნორმალური ტენიანობა და მცირე რაოდენობის აბრაზიული მტკერი | 0,037 |
| | ნორმალური ტენიანობა და დიდი რაოდენობის აბრაზიული მტკერი | 0,052 |
| | ამაღლებული ტენიანობა და დიდი რაოდენობის აბრაზიული მტკერი | 0,060 |
| სათავსში, | ნორმალური ტენიანობა, აბრაზიული მტკერი, ჰაერის | 0,052 |

| | | |
|--|--|-------|
| რომელიც არ თბება ან ლია ცის ქვეშაა | ტემპერატურა 1 °C-მდე | |
| | ამაღლებული ტენიანობა, აბრაზიული მტვერი, ჰაერის ტემპერატურა 1 °C-მდე | 0,060 |
| | ამაღლებული ტენიანობა, აბრაზიული მტვერი, ჰაერის ტემპერატურა -10 °C-მდე | 0,090 |

შენიშვნა: კოეფიციენტის მნიშვნელობა მოცემულია კონვეირის დატვირთული შტოსათვის, რაც 10...15 %-ით მეტია ცარიელი შტოს წინაღობაზე. გაანგარიშების ჩატარებისას მარაგის გათვალისწინების მიზნით დაგუშვათ, რომ ფლენი.

ცხრილი 5

ლენტის დოლთან ჩაჭიდების კოეფიციენტი, μ

| ამძრავი დოლის ზედაპირი | ლენტისა და დოლის საკონტაქტო ზედაპირების მდგომარეობა | გარემო პირობები | ჩაჭიდების კოეფიციენტი, μ |
|-------------------------------------|---|-------------------|---------------------------------|
| ფოლადის გაჩარხული | სუფთა | მშრალი | 0,35 |
| | მტვრიანი | მშრალი | 0,30 |
| | არაწებვადი ტვირთებით (ქვიშა, ნახშირი) გაჭუჭყიანებული | ტენიანი | 0,20 |
| | წებვადი (თიხა) ტვირთებით გაჭუჭყიანებული, შემოყინული | ტენიანი, ყინვისას | 0,10 |
| დარეზინებულ ლენტიანი ამონაგით | სუფთა | მშრალი | 0,40 |
| | მტვრიანი | მშრალი | 0,35 |
| | არაწებვადი ტვირთებით გაჭუჭყიანებული | ტენიანი | 0,25 |
| | წებვადი ტვირთებით გაჭუჭყიანებული, შემოყინული | ტენიანი, ყინვისას | 0,10 |
| რეზინის ამონაგით | სუფთა | მშრალი | 0,50 |
| | მტვრიანი | მშრალი | 0,45 |
| | არაწებვადი ტვირთებით გაჭუჭყიანებული | ტენიანი | 0,35 |
| | წებვადი ტვირთებით გაჭუჭყიანებული, შემოყინული | ტენიანი, ყინვისას | 0,15 |

ცხრილი 7

C კოეფიციენტის მნიშვნელობა

| ტენის ბუნებრივი ფერდოს კუთხე, φ გრად | კონვეიურის დახრის კუთხე α, გრად | | | | | | | |
|--|---|-----|-----------|-----|-----------|-----|-----------|-----|
| | 0 ... 10 | | 11 ... 15 | | 16 ... 18 | | 19 ... 22 | |
| | გორგოლაჭსაყრდენების გვერდითი გორგოლაჭების დახრა α'_δ , გრად | | | | | | | |
| | 20 | 30 | 20 | 30 | 20 | 30 | 20 | 30 |
| 25-30 | 260 | 300 | 250 | 285 | 235 | 270 | 220 | 255 |
| 30-35 | 280 | 325 | 270 | 305 | 255 | 290 | 240 | 275 |
| 35-40 | 295 | 340 | 280 | 325 | 260 | 300 | 250 | 290 |
| 40-45 | 315 | 365 | 300 | 365 | 285 | 325 | 270 | 310 |

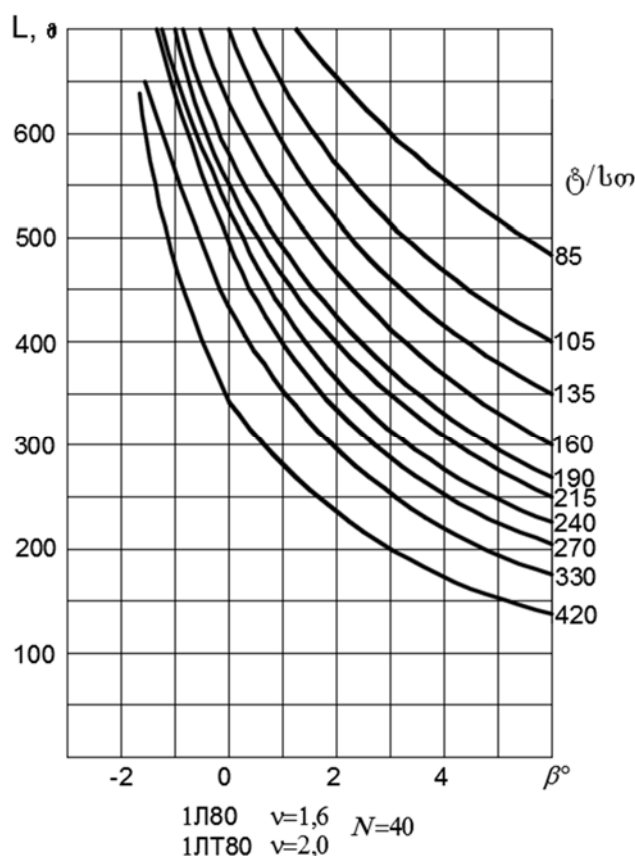
შენიშვნა:

- 1) კოეფიციენტი პრტყელი ლენტისათვის 2-ჯერ ნაკლებია, ვიდრე $\alpha'_\delta = 20^\circ$ საყრდენ გორგოლაჭზე განლაგებული ლენტისათვის;
- 2) ტენის მარცვლების ძვრადობად მიღებულია საშუალო მნიშვნელობა.

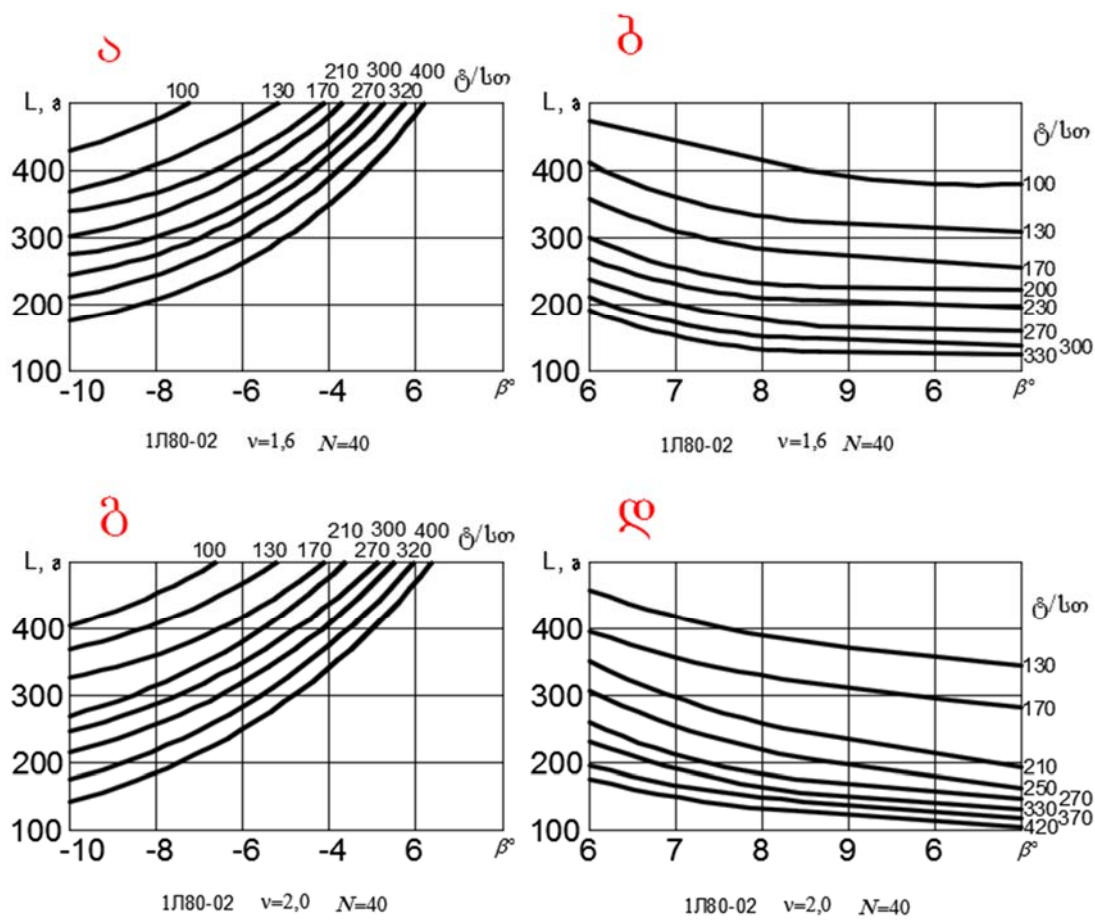
ცხრილი 6

 $e^{\mu\beta}$ წევის ფაქტორისა და K_C კოეფიციენტის მნიშვნელობები

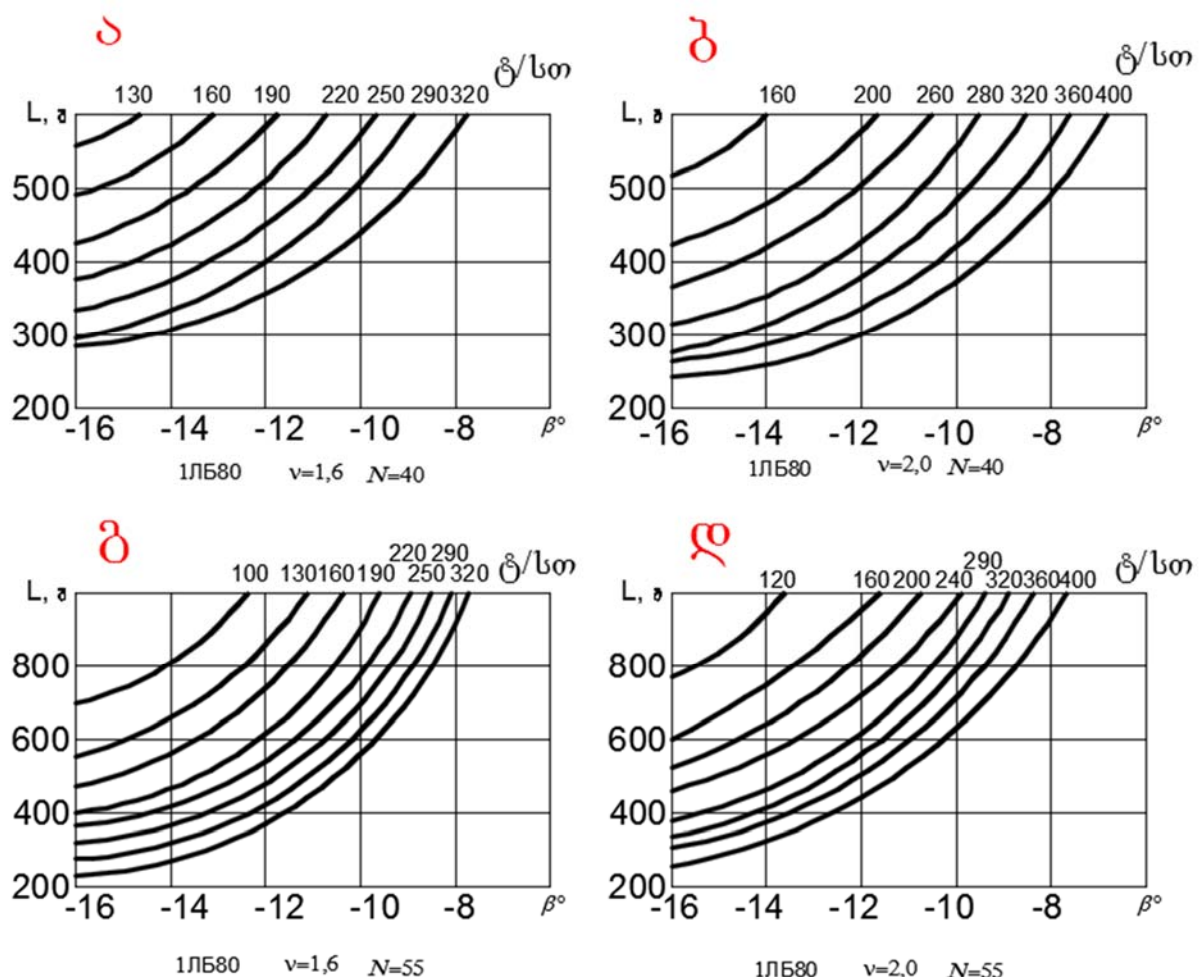
| ჩაჭიდვის კოეფიციენტი, μ | პარა მეტრი μ | დოლზე (დოლებზე) ლენტის შემოხვევის კუთხე | | | | | | | | | | | | | | | | |
|-----------------------------------|----------------------------|---|--------------|--------------|--------------|--------------|--------------|--------------|--------------|--------------|--------------|--------------|--------------|--------------|--------------|--------------|--------------|--------------|
| | | 180 3.14 | 185 3.23 | 190 3.32 | 195 3.4 | 200 3.5 | 205 3.58 | 210 3.67 | 220 3.84 | 240 4.19 | 270 4.71 | 300 5.24 | 330 5.76 | 360 6.28 | 380 6.63 | 400 6.98 | 450 7.87 | 480 8.38 |
| 0,10 | $\frac{e^{\mu\beta}}{K_C}$ | 1,37 3.70 | 1,38 3,62 | 1,39 3,54 | 1,41 3,46 | 1,42 3,39 | 1,43 3,32 | 1,44 3,26 | 1,47 3,13 | 1,52 2,92 | 1,60 2,66 | 1,69 2,45 | 1,78 2,28 | 1,88 2,14 | 1,94 2,06 | 2,01 1,99 | 2,18 1,85 | 2,32 1,70 |
| 0,15 | $\frac{e^{\mu\beta}}{K_C}$ | 1,60 2,66 | 1,62 260 | 165 255 | 1,67 2,50 | 1,69 2,45 | 1,71 2,40 | 1,73 2,36 | 1,78 2,28 | 1,88 2,14 | 2,03 1,97 | 2,20 1,84 | 2,38 1,73 | 2,57 1,64 | 2,71 1,55 | 2,85 1,54 | 3,25 1,44 | 3,53 1,40 |
| 0,20 | $\frac{e^{\mu\beta}}{K_C}$ | 188 214 | 1,91 2,1 | 194 206 | 1,98 2,02 | 2,01 1,99 | 2,05 1,96 | 2,08 1,92 | 2,16 1,86 | 2,31 1,76 | 2,57 1,64 | 2,85 1,54 | 3,17 1,46 | 3,52 1,40 | 3,78 1,36 | 4,05 1,33 | 4,81 1,26 | 5,37 1,23 |
| 0,25 | $\frac{e^{\mu\beta}}{K_C}$ | 220 184 | 224 180 | 229 177 | 2,34 1,74 | 2,40 1,72 | 2,45 1,69 | 250 1,67 | 2,62 1,62 | 2,86 1,54 | 3,25 1,44 | 3,71 1,37 | 4,23 1,31 | 4,84 1,26 | 5,26 1,23 | 5,74 1,21 | 7,05 1,16 | 8,17 1,14 |
| 0,30 | $\frac{e^{\mu\beta}}{K_C}$ | 257 164 | 264 161 | 271 159 | 2,78 1,56 | 2,85 1,54 | 2,93 1,52 | 3,01 1,50 | 3,17 1,46 | 3,52 1,40 | 4,12 1,32 | 4,82 1,26 | 5,62 1,22 | 6,60 1,18 | 7,33 1,16 | 8,14 1,14 | 10,6 1,1 | 12,3 1,09 |
| 0,35 | $\frac{e^{\mu\beta}}{K_C}$ | 301 150 | 310 148 | 320 146 | 3,30 1,44 | 3,40 1,42 | 3,50 1,40 | 3,61 1,38 | 3,84 1,35 | 4,34 1,30 | 5,22 1,24 | 6,29 1,19 | 7,53 1,17 | 9,05 1,13 | 10,1 1,11 | 11,5 1,11 | 15,6 1,09 | 18,7 1,07 |
| 0,40 | $\frac{e^{\mu\beta}}{K_C}$ | 352 140 | 365 138 | 378 136 | 3,91 1,34 | 4,05 1,33 | 4,19 1,31 | 4,34 1,30 | 4,65 1,27 | 5,35 1,23 | 6,60 1,18 | 8,14 1,14 | 10,0 1,11 | 12,3 1,11 | 14,2 1,09 | 16,3 1,08 | 23,1 1,07 | 28,5 31,0 |



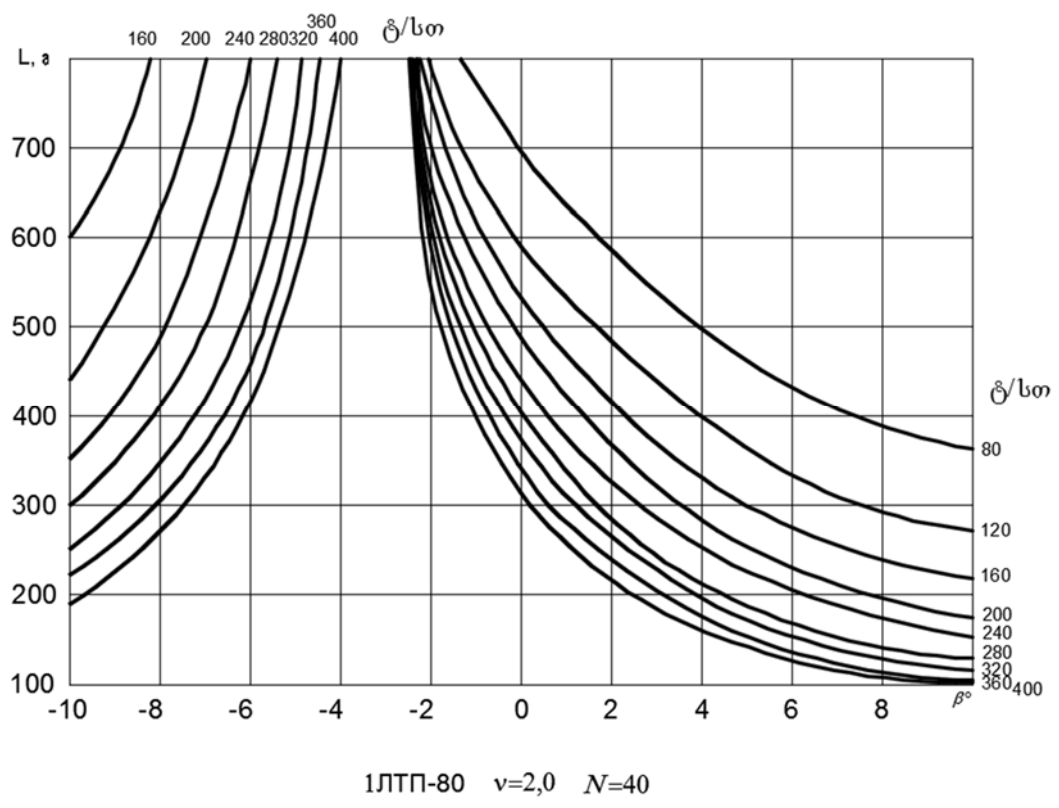
6ას. 1



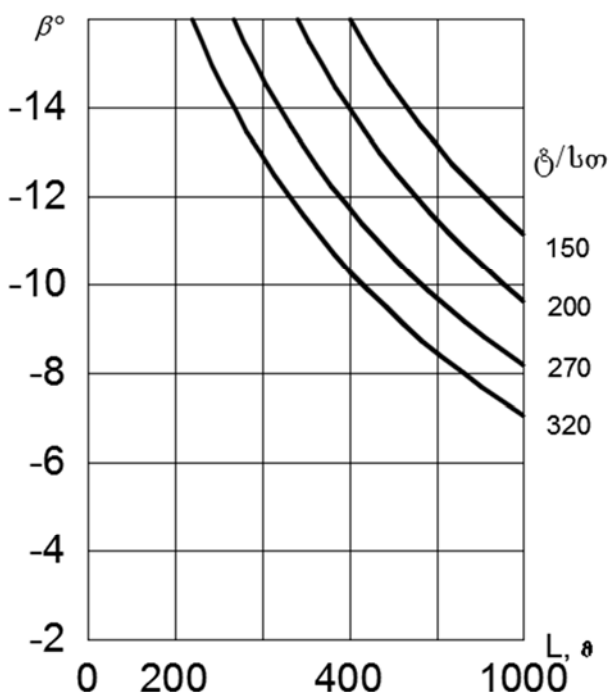
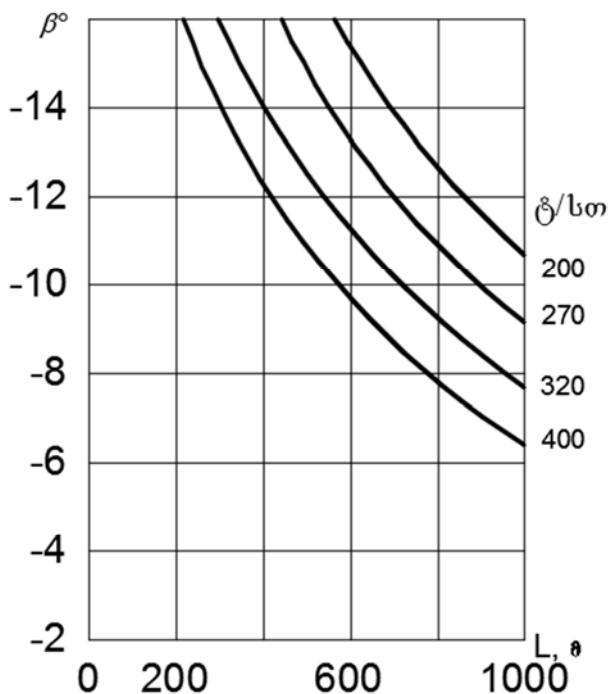
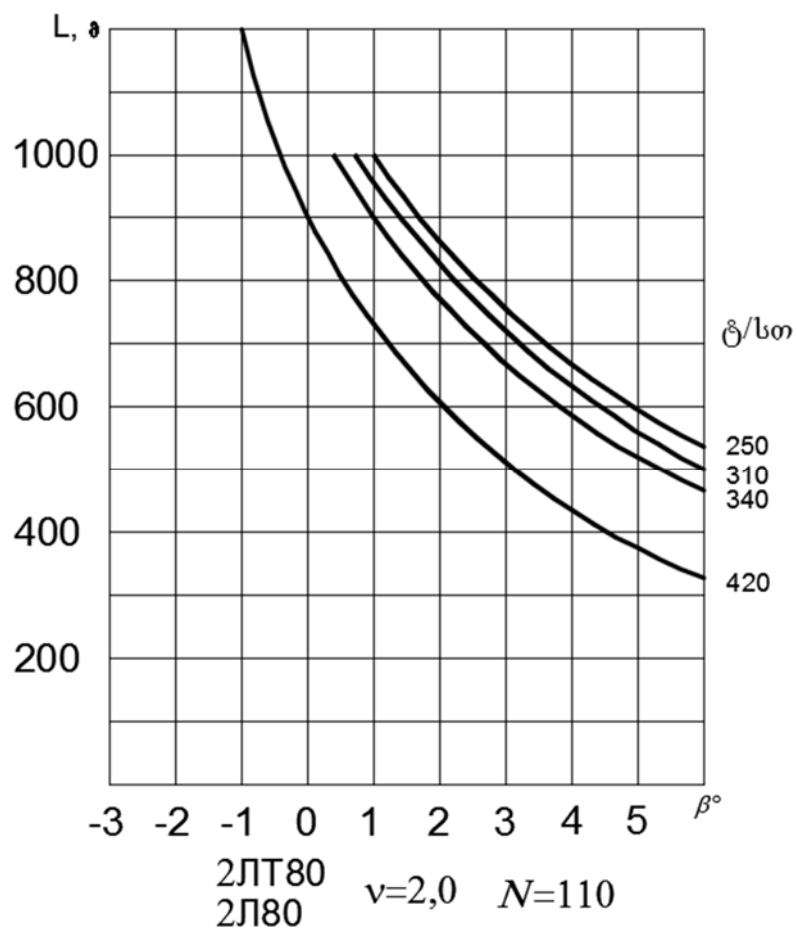
6ას. 2



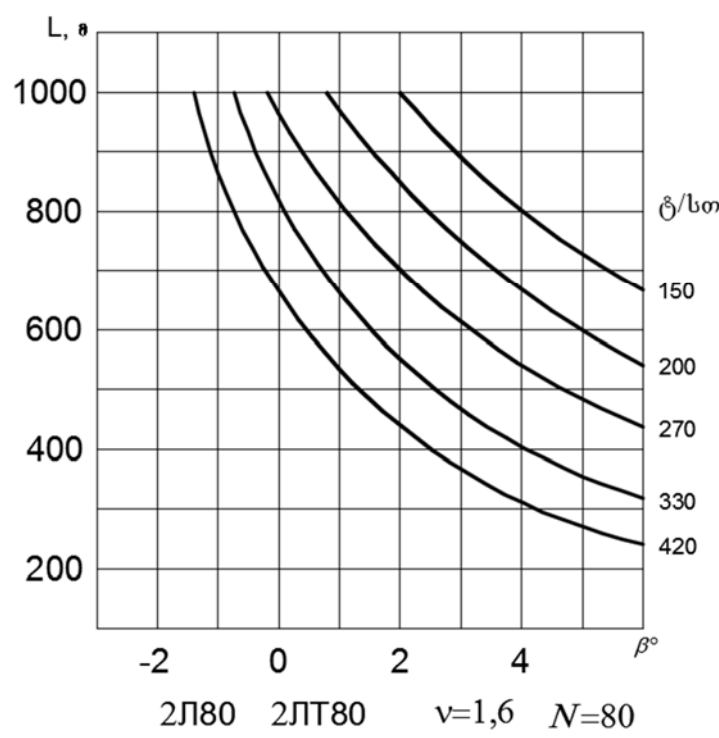
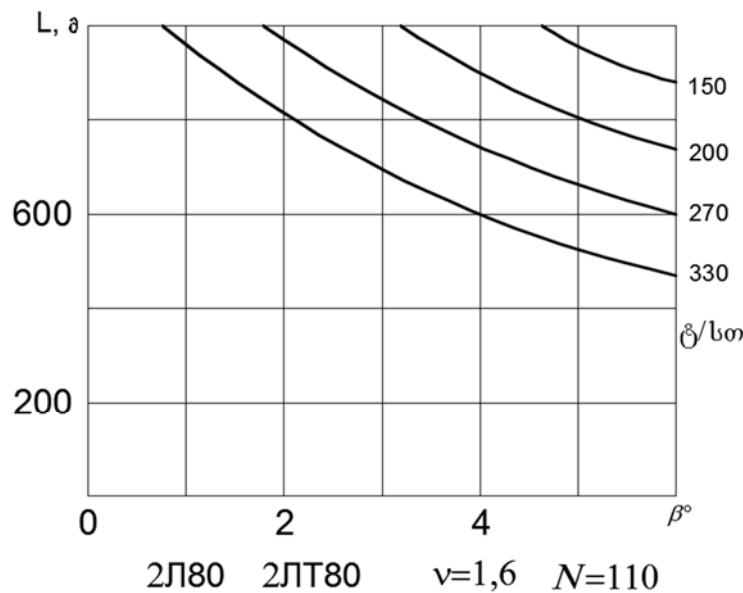
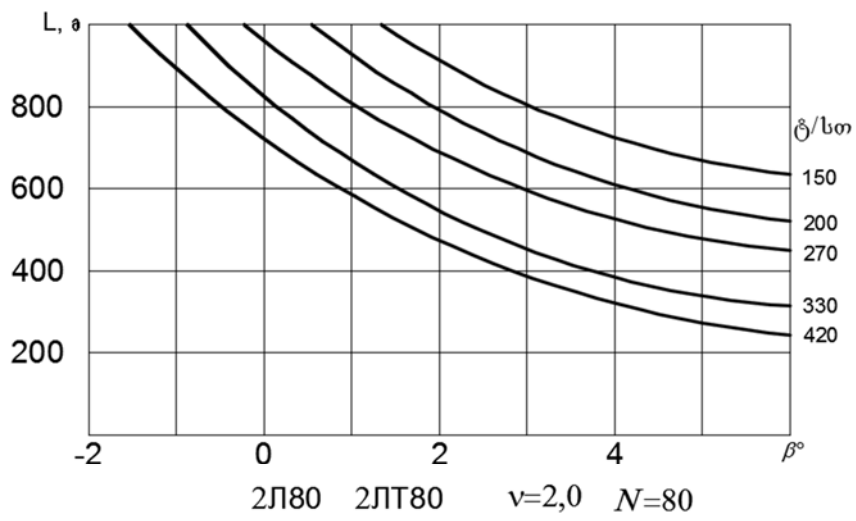
ნახ. 3



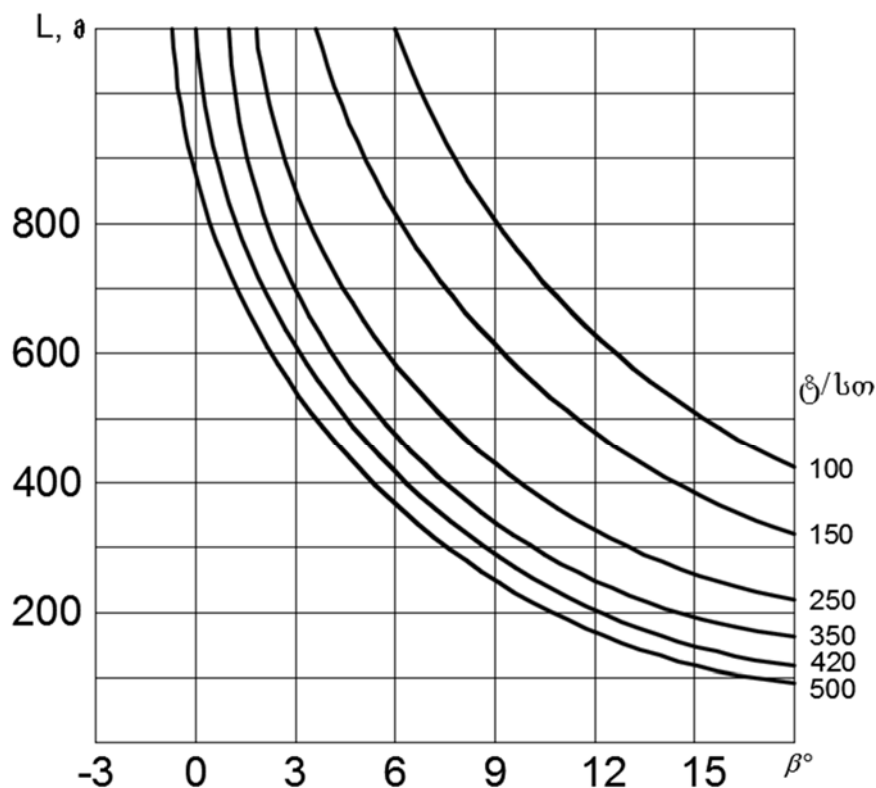
ნახ. 4



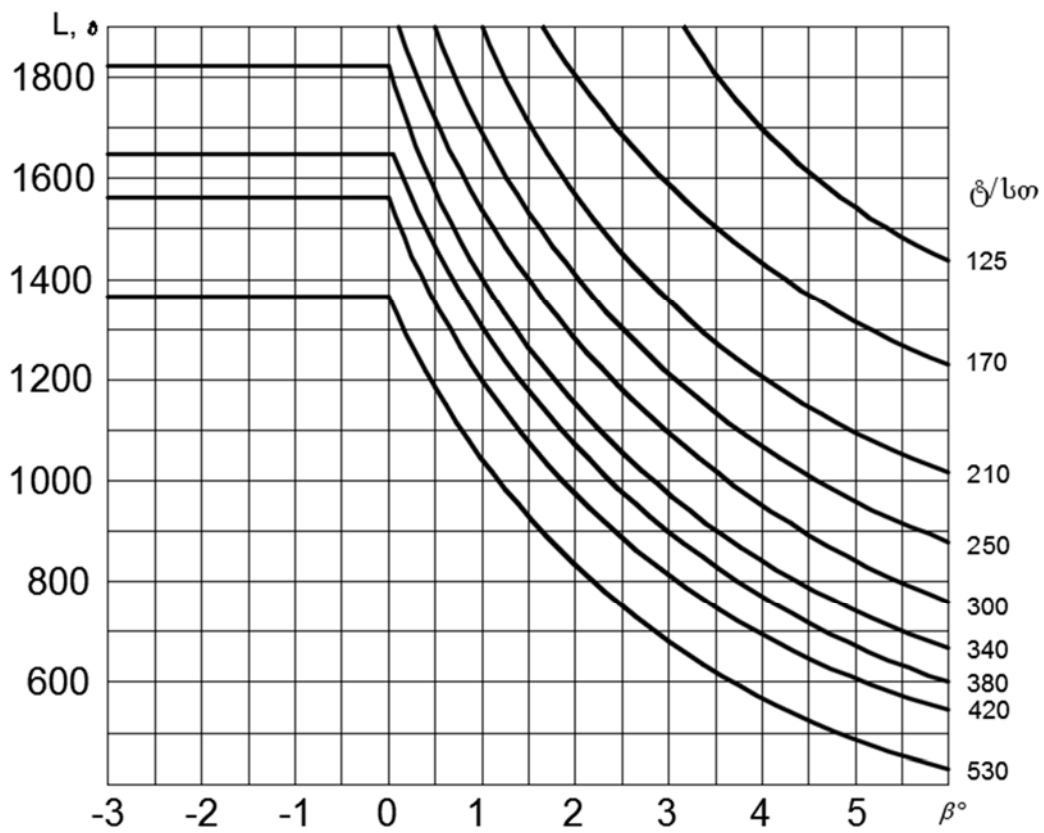
ნახ. 58



ნახ. 5ბ

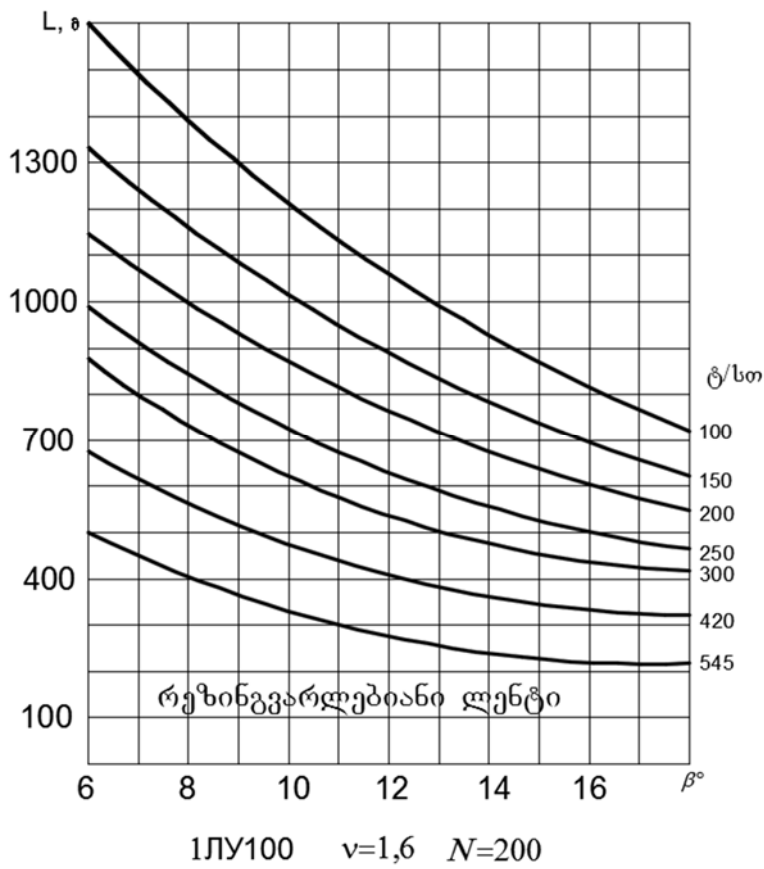
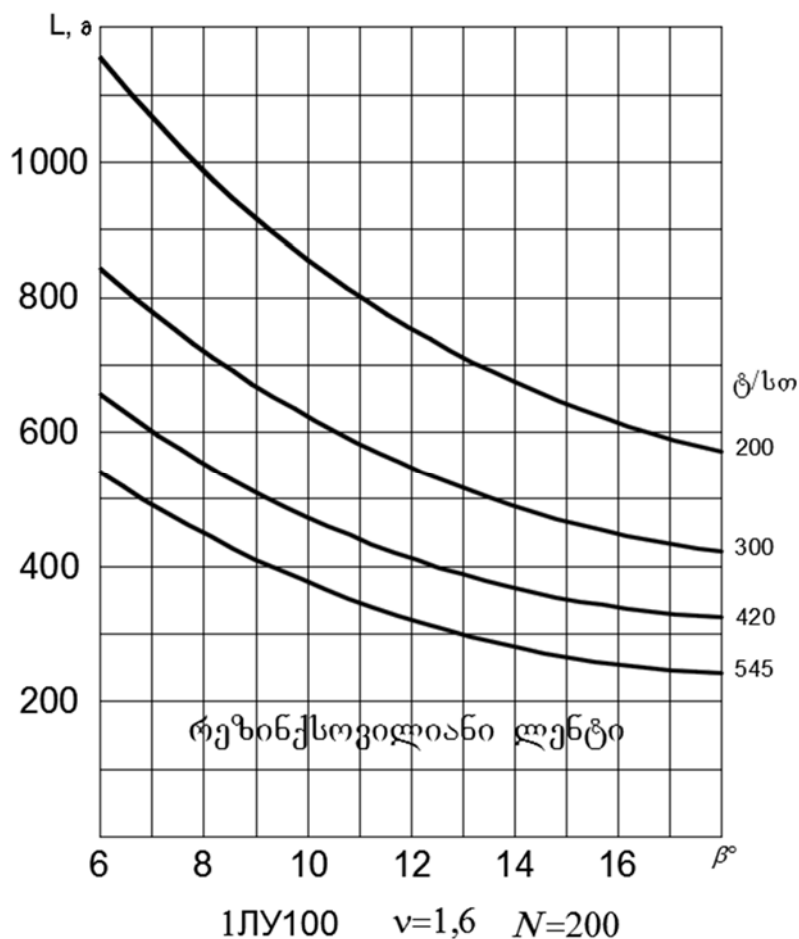


1Л100К $v=2,0$ $N=150$
бзб. 6

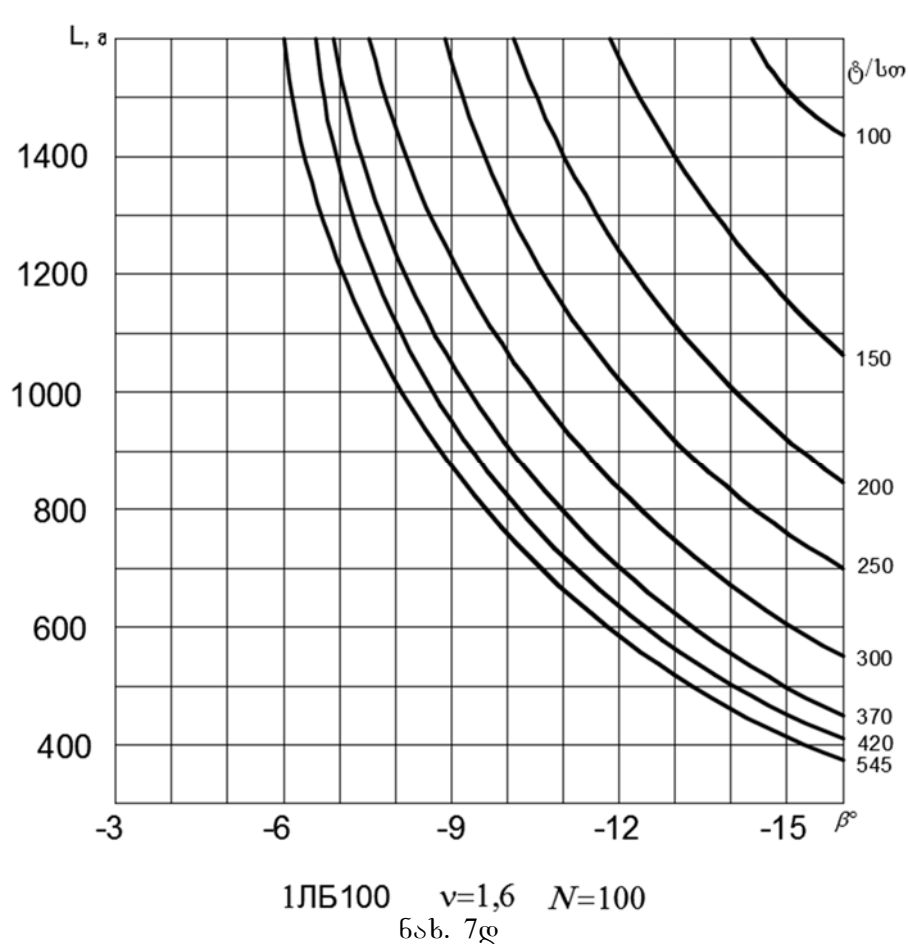
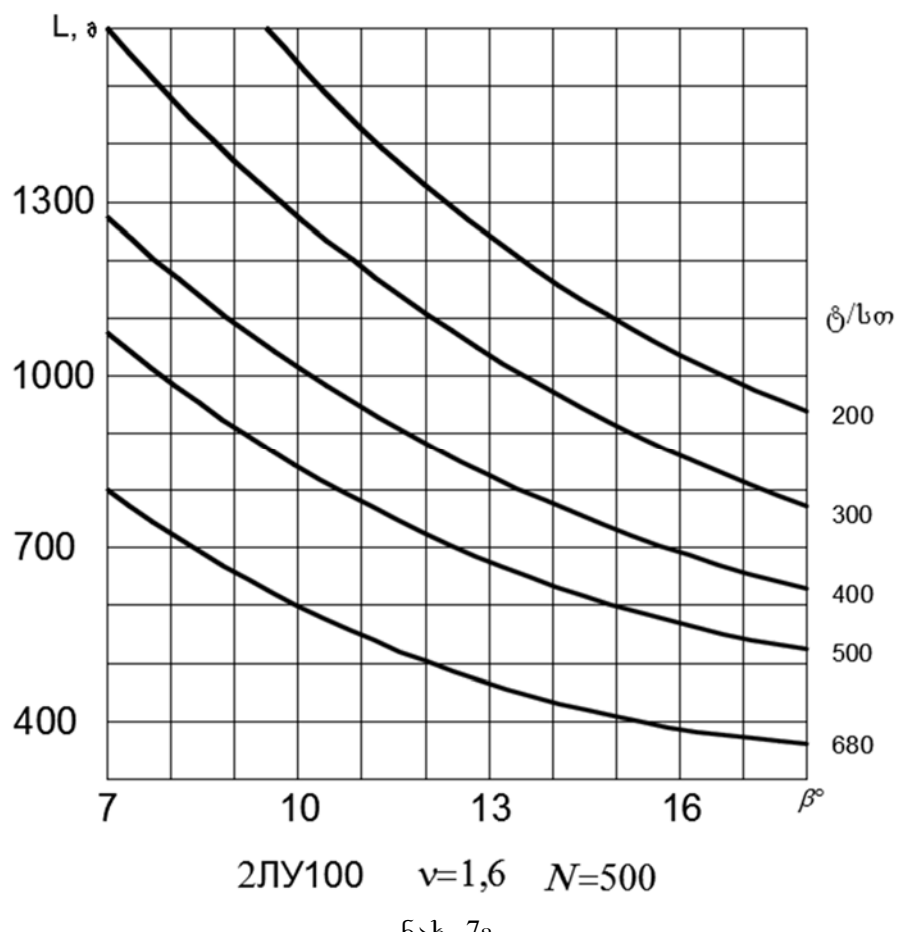


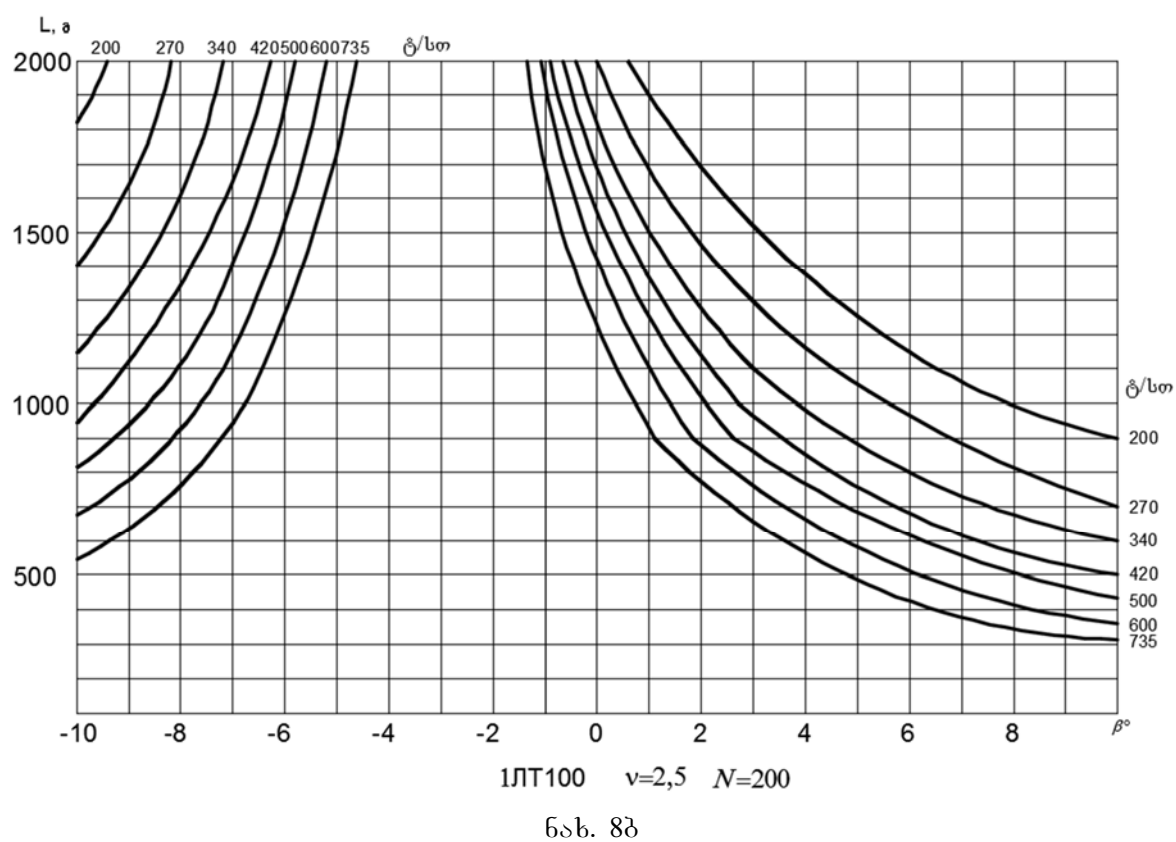
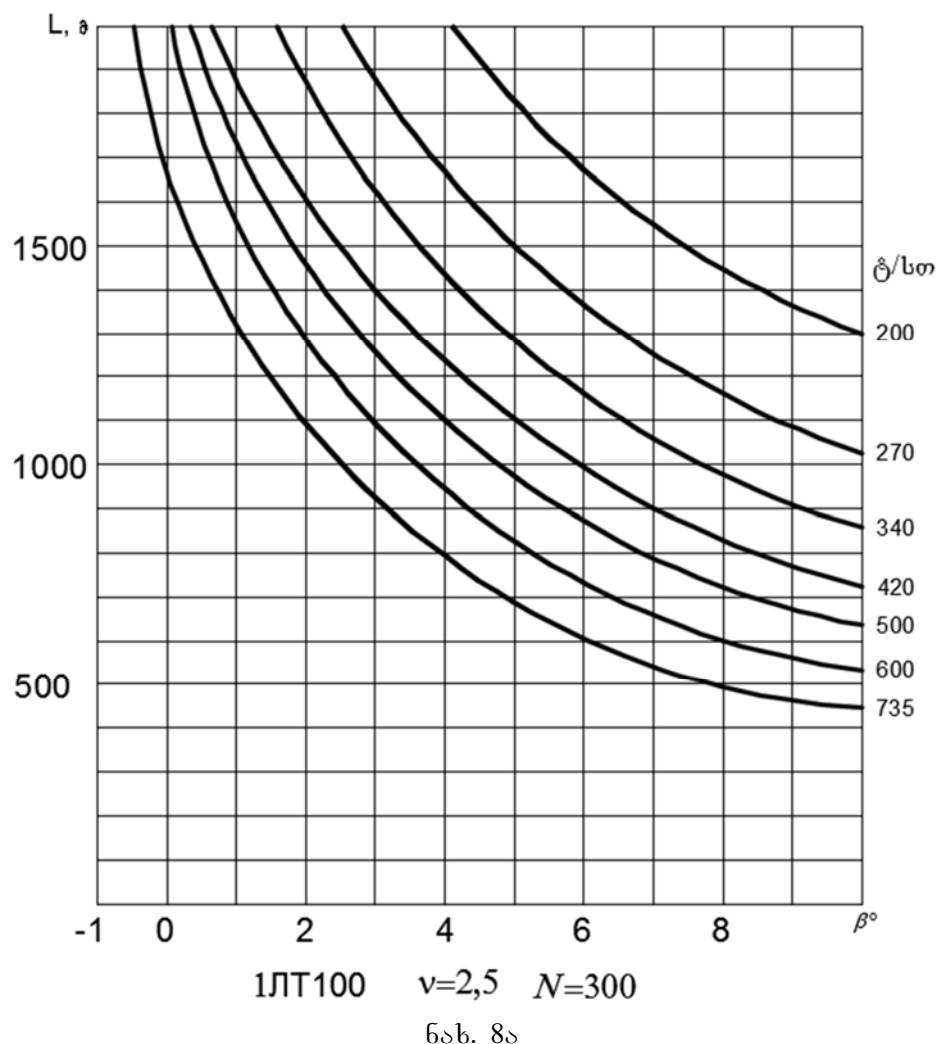
1Л100 $v=1,6$ $N=200$

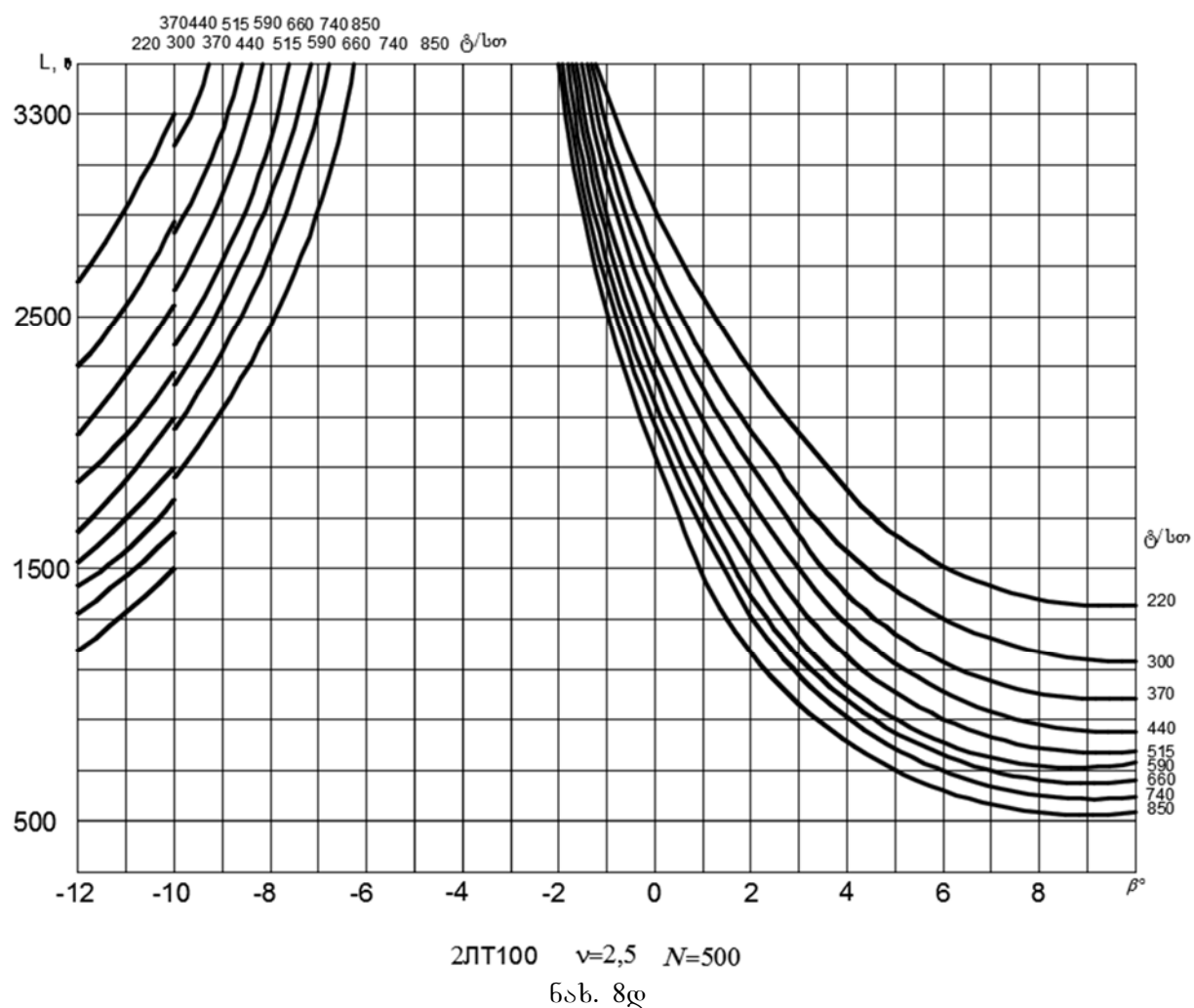
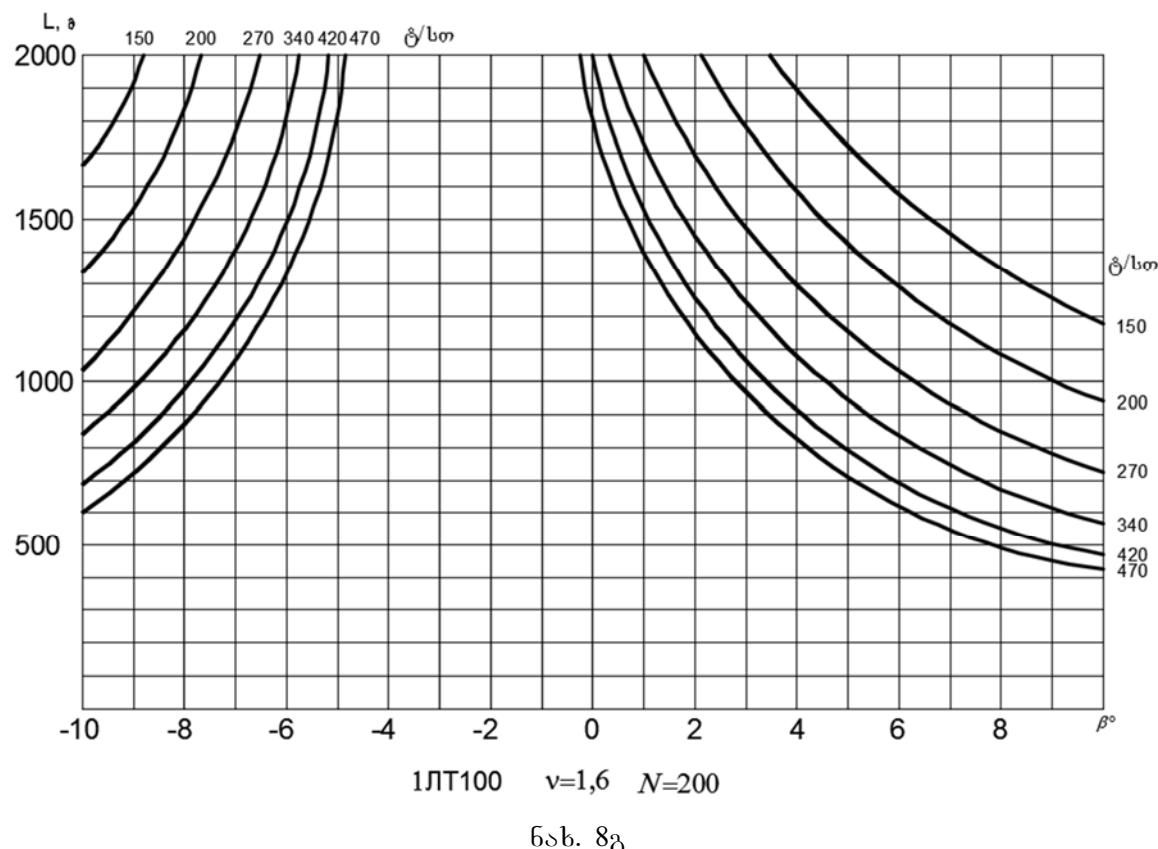
бзб. 7з

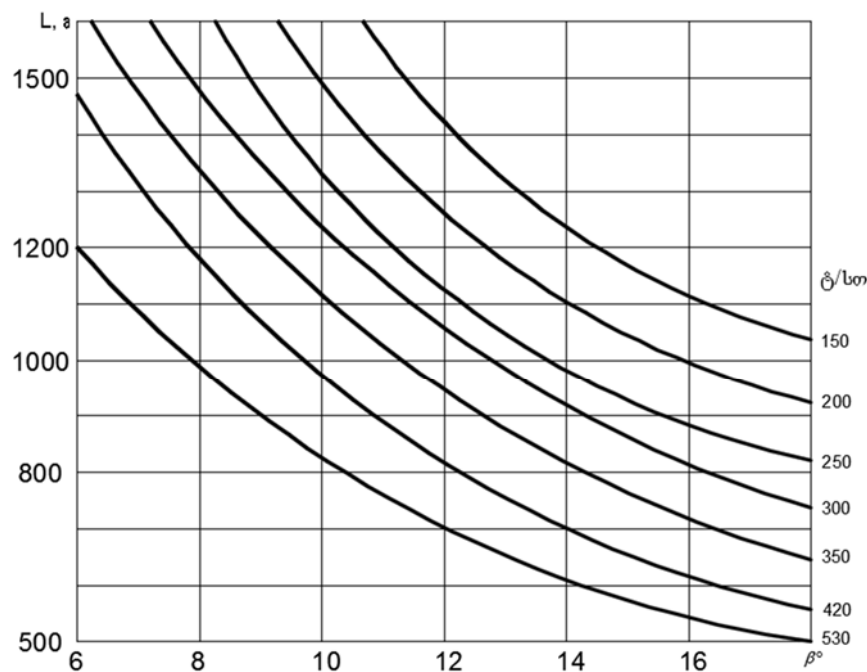


ნახ. 7ბ



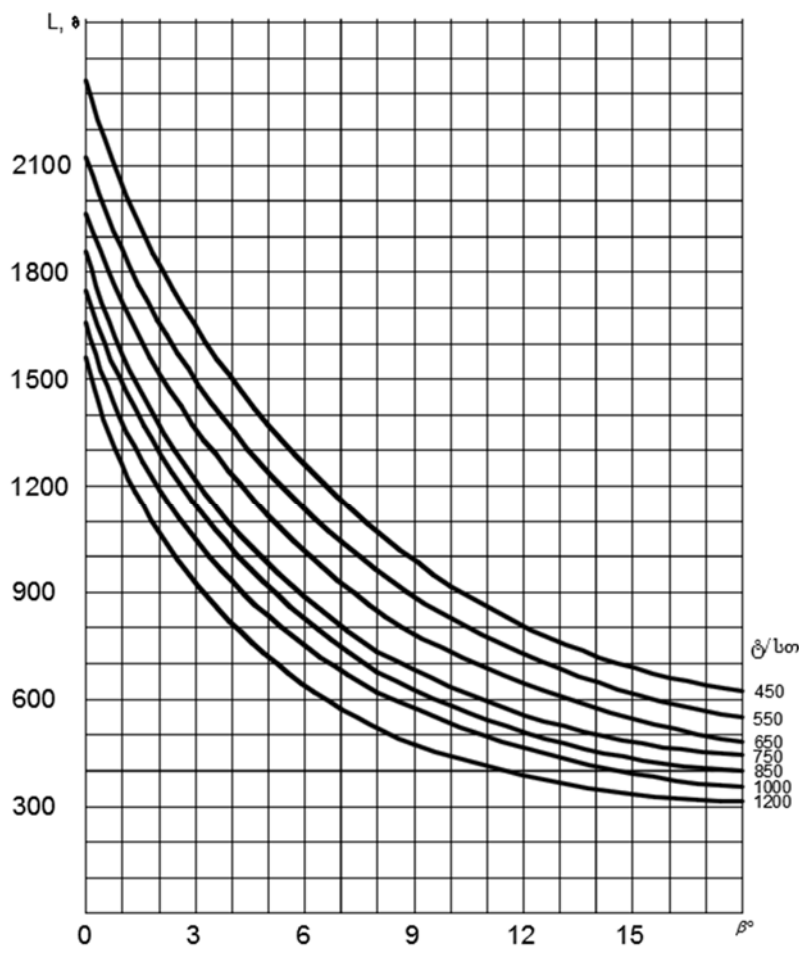






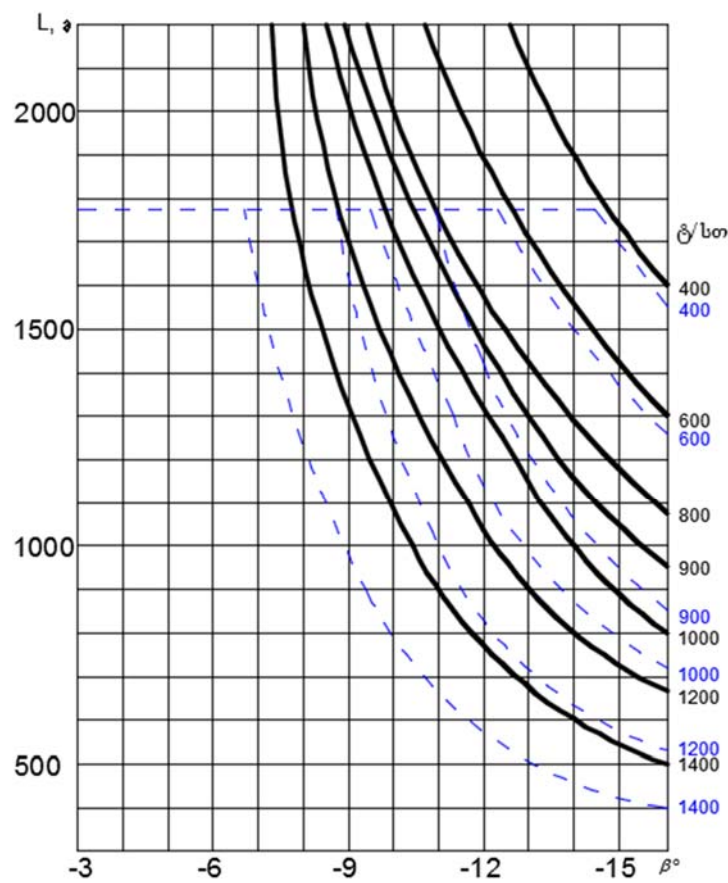
$1\text{LP}100 \quad \nu=2,0 \quad N=500$

ნაბ. 9

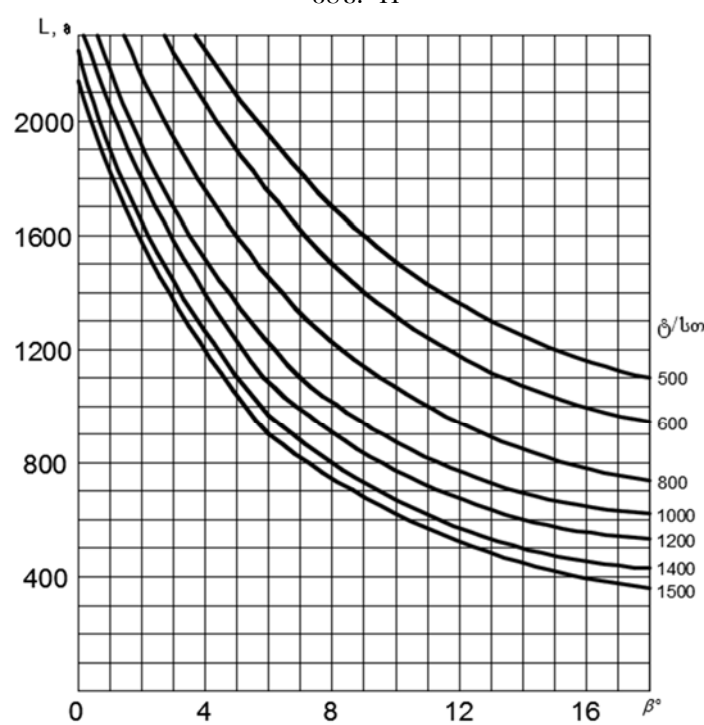


$1\text{LY}120 \quad \nu=2,5 \quad N=500$

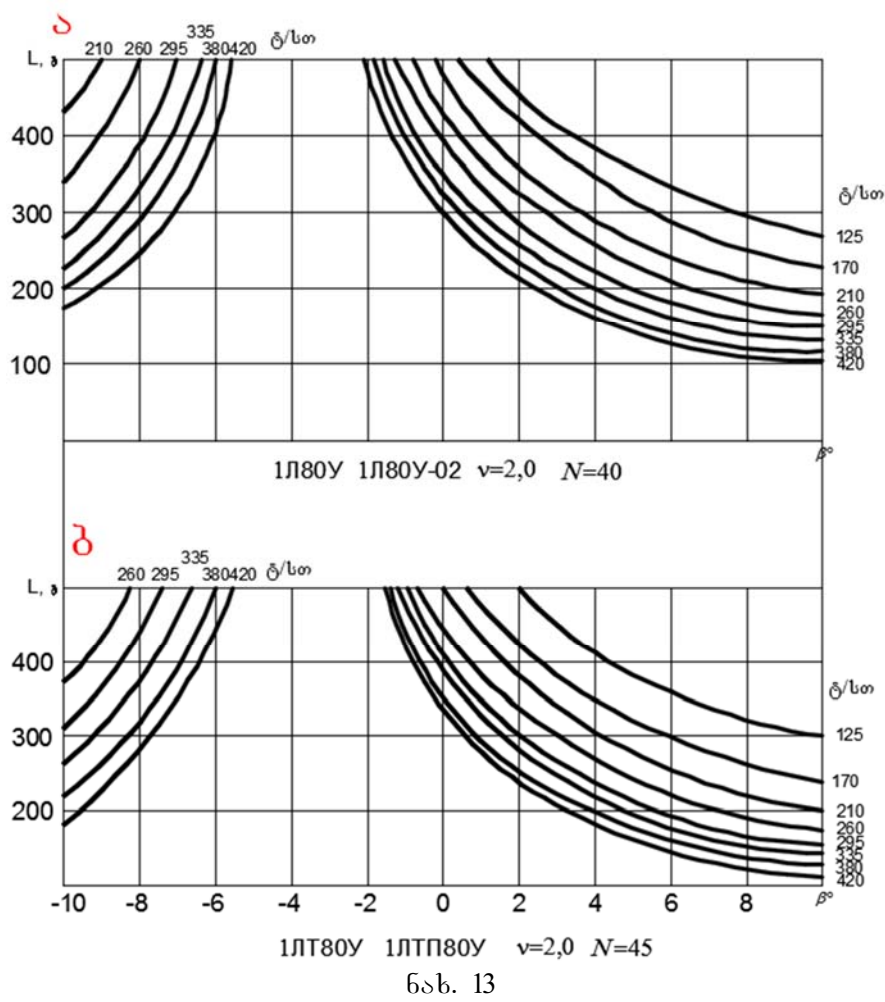
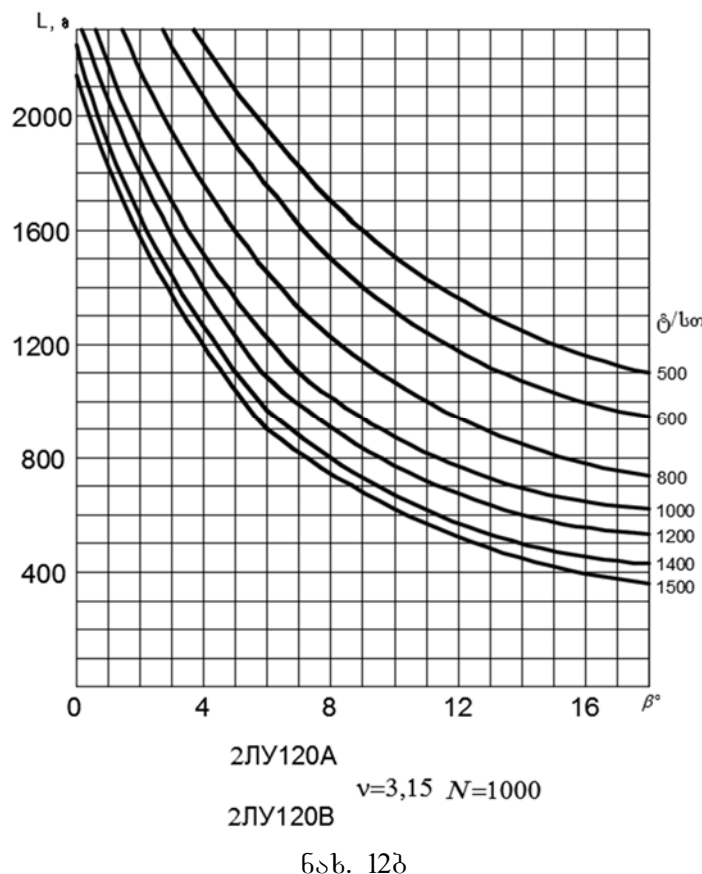
ნაბ. 10

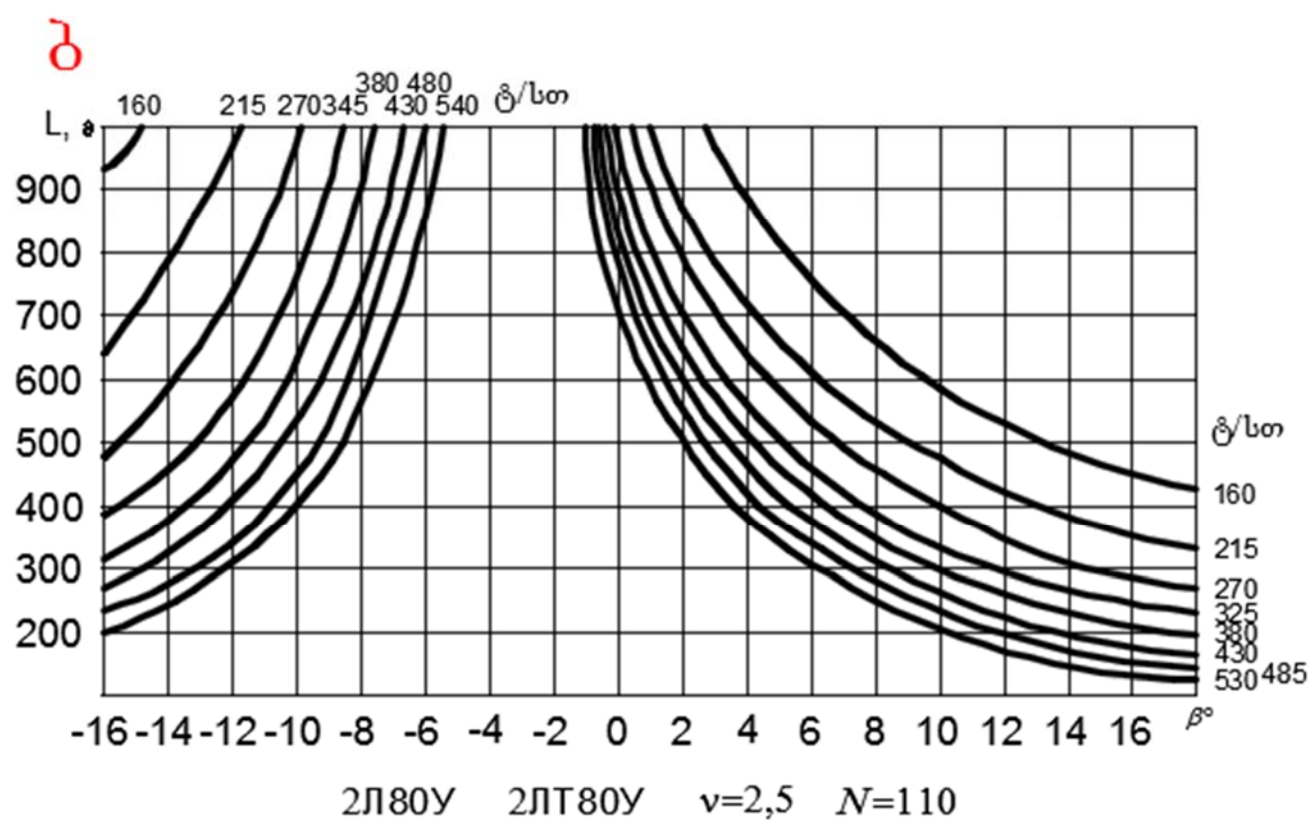
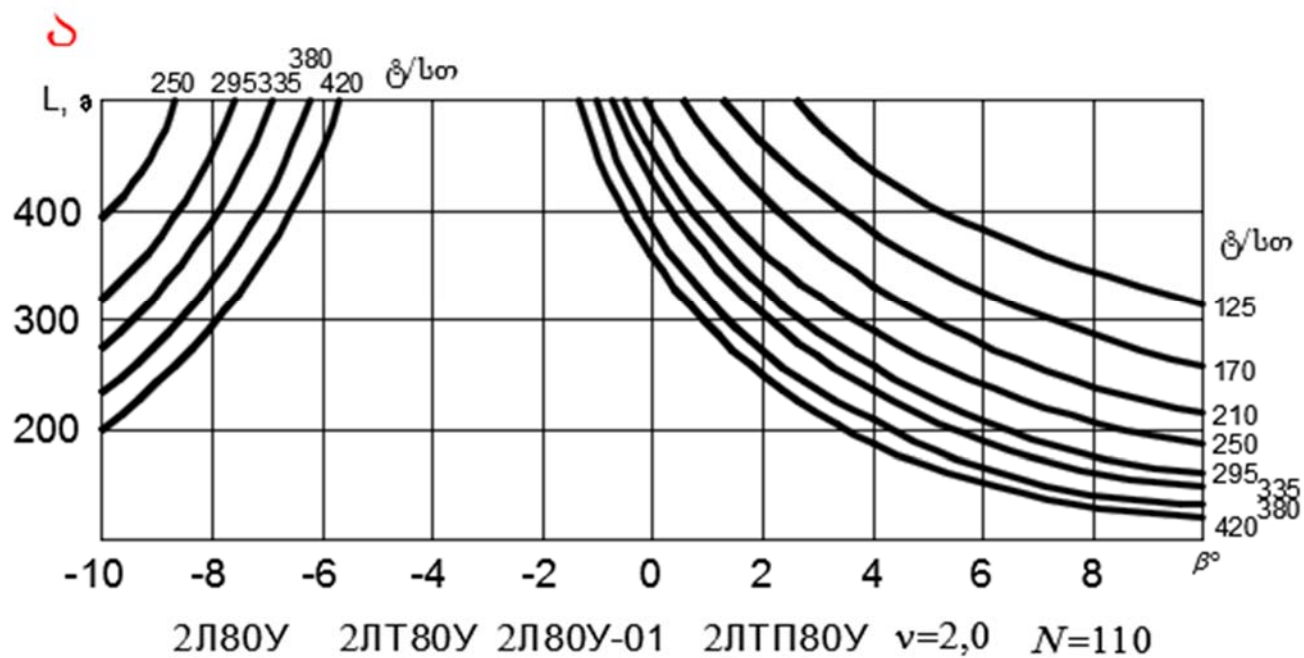


$N=500$
2ЛБ120 $v=3.15$ $N=400$
63б. 11

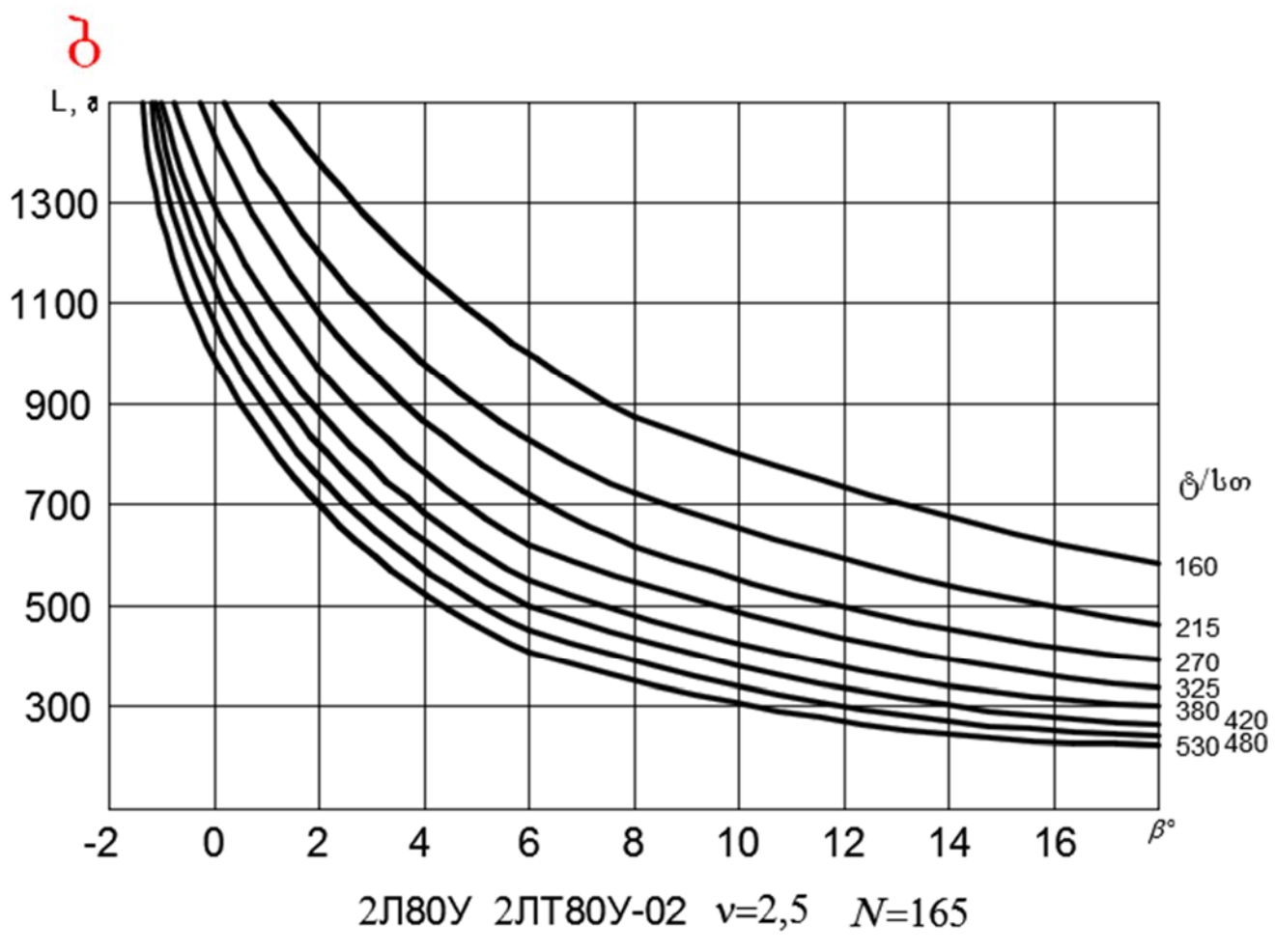
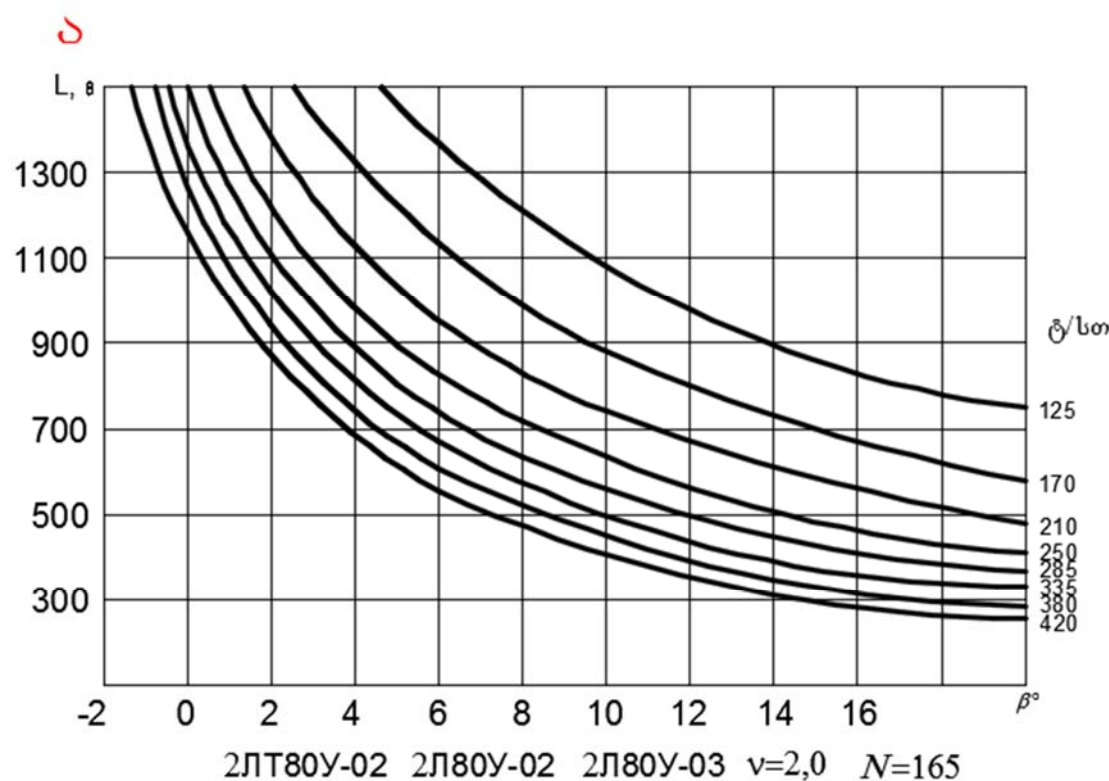


2ЛУ120А
 $v=3.15$ $N=1000$
2ЛУ120В
63б. 123

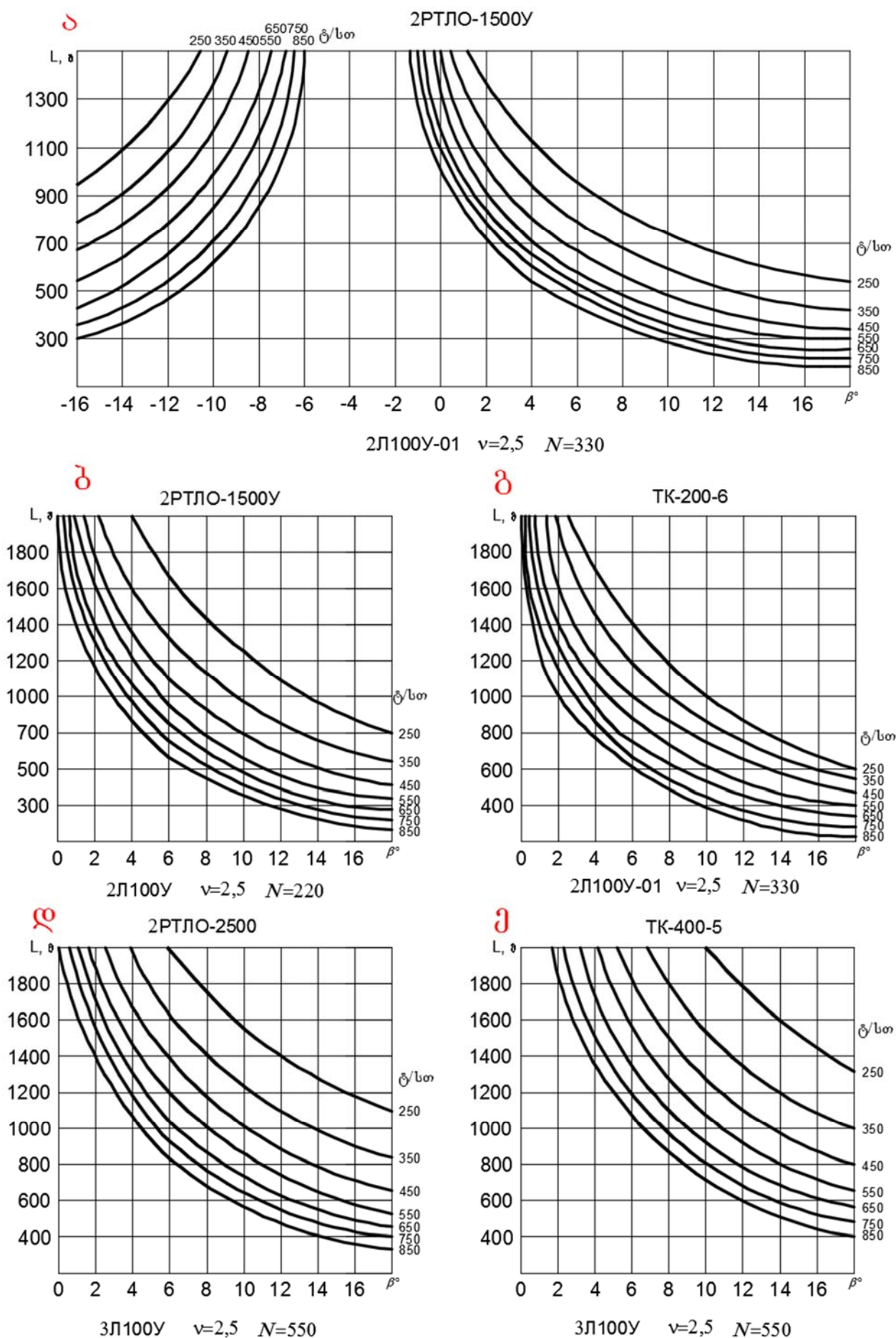


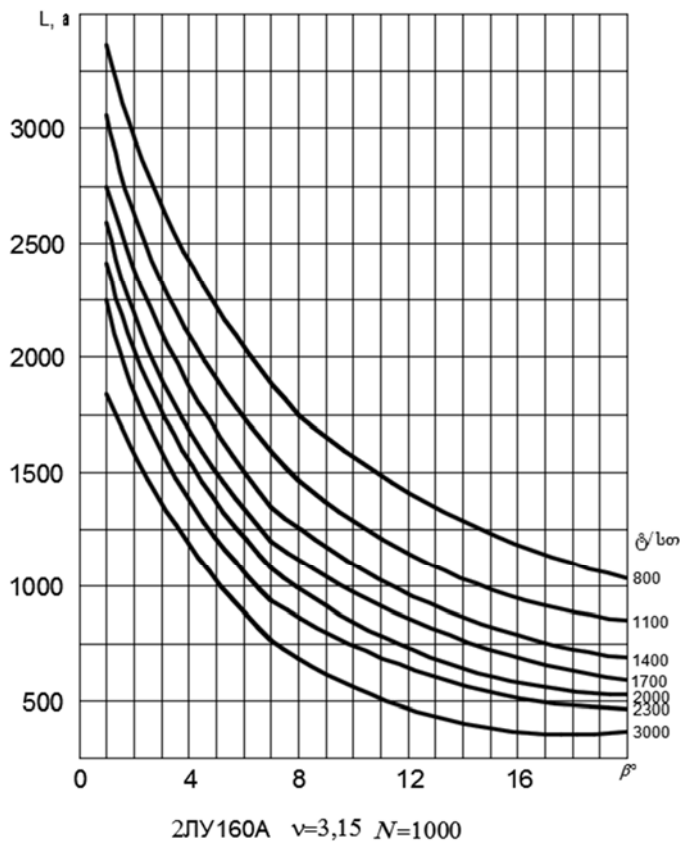


6სბ. 14ს

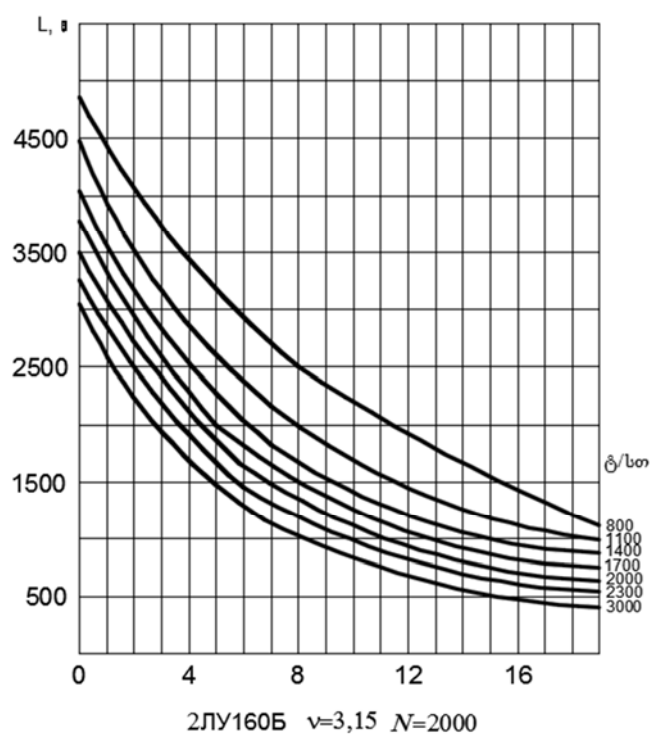


68b. 14δ

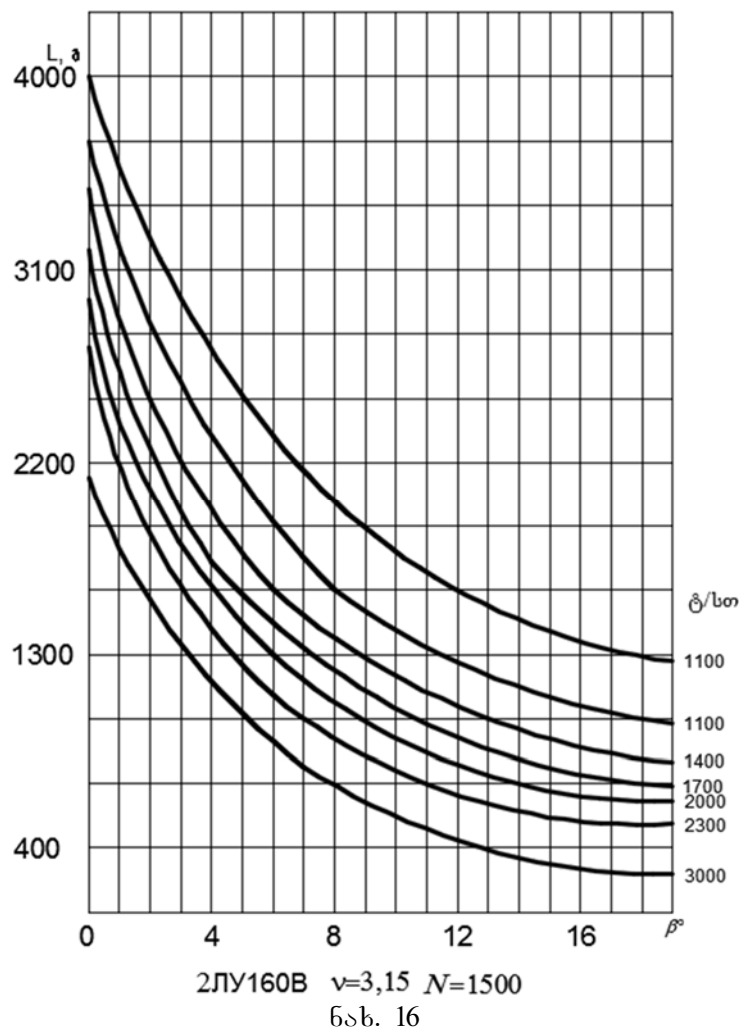




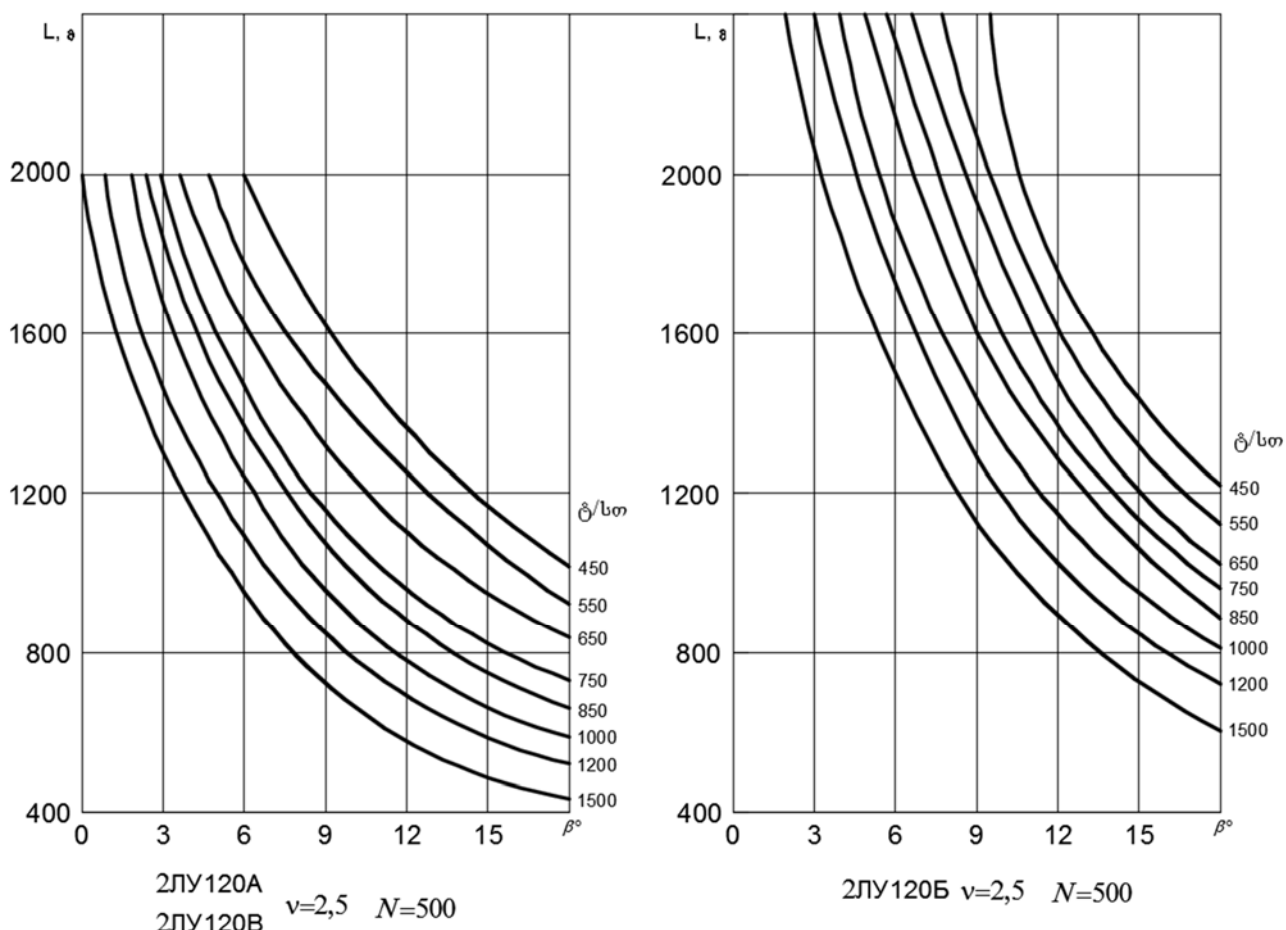
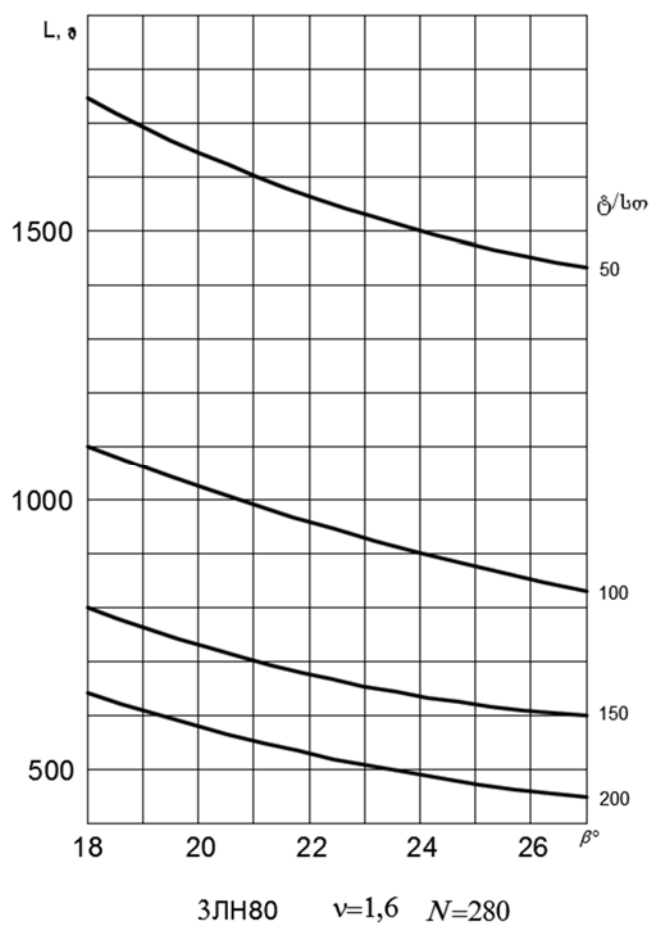
2ЛУ160А $v=3,15$ $N=1000$



2ЛУ160Б $v=3,15$ $N=2000$



68б. 16



бд. 17

ლიტერატურა

1. ნ. მოლოდინი, რ. მოლოდინი, მეთოდური მითითებები საელმავლო წევის გაანგარიშებაში. სტუ-ს გამოც., თბილისი, 2018.
2. Зеленский О. В., Петров А.С. Справочник по проектированию ленточных конвейеров. М. Недра, 1986
3. Кузнецов Б.А., Ряинцевич А.А. и др. Транспорт на горных предприятиях. М. Недра, 1969. 656с.
4. გ. მაჩაიძე, ფეხოვან საბადოთა შახტების სავენტილაციო სქემები (გრაფიკული მასალა საქურსო და სადიპლომო გეგმარებისათვის). სტუ – 1990, 26 გვ.

შინაარსი

| | |
|--|----|
| 1. სატრანსპორტო დანადგარების მწარმოებლობა | 3 |
| 2. ლენტური კონვეიერის შერჩევა და გაანგარიშება | 6 |
| 2.1. საორიენტაციო გაანგარიშება | 7 |
| 2.2. შემოკლებული გაანგარიშება | 8 |
| 2.3. შემოკლებული გაანგარიშების რიცხვითი მაგალითი | 11 |
| დანართი | 15 |
| ლიტერატურა | 36 |

რედაქტორი გ. ლუდვიგაური

გადაეცა წარმოებას 01.10.2018. სელმოწერილია დასაბეჭდად 19.12.2018.
ქაღალდის ზომა 60X84 1/8. პირობითი ნაბეჭდი თაბახი 2,5. №2967.

საგამომცემლო სახლი „ტექნიკური უნივერსიტეტი“, თბილისი, კოსტავას 77

